

**ČESKÉ VYSOKÉ
UČENÍ TECHNICKÉ
V PRAZE**

**FAKULTA
STROJNÍ**



**DIPLOMOVÁ
PRÁCE**

2019

**RADEK
HOFÍREK**

I. OSOBNÍ A STUDIJNÍ ÚDAJE

Příjmení: **Hofírek** Jméno: **Radek** Osobní číslo: **438959**
Fakulta/ústav: **Fakulta strojní**
Zadávající katedra/ústav: **Ústav mechaniky, biomechaniky a mechatroniky**
Studijní program: **Průmysl 4.0**
Studijní obor: **bez oboru**

II. ÚDAJE K DIPLOMOVÉ PRÁCI

Název diplomové práce:

Algoritmy výpočetní inteligence pro rekonstrukci teplotních polí v turbomotoru

Název diplomové práce anglicky:

Computational Intelligence Algorithms for Temperature Field Reconstruction.

Pokyny pro vypracování:

Provedte rešerši problematiky měření teplot v řezu malých leteckých turbomotorů. Provedte rešerši vhodných supervizovaných algoritmů pro aproximaci a predikci (např. HONU, MLP, ELM, RVFL, LSTM,...). Analyzujte měřená data. Navrhněte metodu rekonstrukce teplotního pole v řezu a odhadu isotermických čar v řezu z minimálního počtu bodově měřených hodnot s využitím neuronových sítí a supervizovaných algoritmů. Vyberte metody, implementujte na umělých datech s různou úrovní šumu i na měřených datech a vyhodnoťte přesnost a robustnost učících algoritmů.

Rozsah práce min. 50 stran přílohy.

Seznam doporučené literatury:

- [1] BUKOVSKÝ, I. a N. HOMMA. An Approach to Stable Gradient-Descent Adaptation of Higher Order Neural Units. IEEE Transactions on Neural Networks and Learning Systems [online]. 2017, 28(9), 2022–2034. ISSN 2162-237X. Dostupné z: doi:10.1109/TNNLS.2016.2572310
[2] DAVID B FOGEL, DERONG LIU a JAMES M KELLER. Fundamentals of Computational Intelligence: Neural Networks, Fuzzy Systems, and Evolutionary Computation. Piscataway, NJ: IEEE Press, 2016. ISBN 978-1-119-21434-2.

Jméno a pracoviště vedoucí(ho) diplomové práce:

doc. Ing. Ivo Bukovský, Ph.D., U12110.3

Jméno a pracoviště druhé(ho) vedoucí(ho) nebo konzultanta(ky) diplomové práce:

Datum zadání diplomové práce: **29.04.2019**

Termín odevzdání diplomové práce: **16.08.2019**

Platnost zadání diplomové práce: _____

doc. Ing. Ivo Bukovský, Ph.D.
podpis vedoucí(ho) práce

prof. Ing. Milan Růžička, CSc.
podpis vedoucí(ho) ústavu/katedry

prof. Ing. Michael Valášek, DrSc.
podpis děkana(ky)

III. PŘEVZETÍ ZADÁNÍ

Diplomant bere na vědomí, že je povinen vypracovat diplomovou práci samostatně, bez cizí pomoci, s výjimkou poskytnutých konzultací. Seznam použité literatury, jiných pramenů a jmen konzultantů je třeba uvést v diplomové práci.

Datum převzetí zadání

Podpis studenta

Anotace

Autor:	Radek Hofírek
Název DP:	Algoritmy výpočetní inteligence pro rekonstrukci teplotních polí v turbomotoru
Rozsah práce:	68 stran
Školní rok vyhotovení:	2018-2019
Škola:	ČVUT v Praze – Fakulta strojní
Ústav:	Ú 12105 Ústav mechaniky, biomechaniky a mechatroniky
Vedoucí DP:	doc. Ing. Ivo Bukovský, Ph.D.
Zadavatel tématu:	ČVUT v Praze – Fakulta strojní
Datum odevzdání:	12. Srpna 2019
Klíčová slova:	Neuronové sítě, turbomotory, LSTM, MLP. strojové učení

Annotation

Author:	Radek Hofírek
Title of master thesis:	Computational Intelligence Algorithms for Temperature Field Reconstruction.
Extent:	68 pages
Školní rok vyhotovení:	2018-2019
University:	CTU in Prague – Faculty of Mechanical Engineering
Department:	Ú 12105 Department of Mechanics, Biomechanics and Mechatronics
Supervisor:	doc. Ing. Ivo Bukovský, Ph.D.
Submitter of Theme:	ČVUT v Praze – Fakulta strojní
Date of handover:	12th of August 2019
Keywords:	Neural networks, turboengines, MLP, LSTM, machine learning

Prohlášení

Prohlašuji, že jsem svou diplomovou práci vypracoval samostatně a že jsem uvedl v příloženém seznamu veškeré použité informační zdroje v souladu s Metodickým pokynem o dodržování etických principů při přípravě vysokoškolských závěrečných prací, vydaným ČVUT v Praze 1. 7. 2009.

Nemám závažný důvod proti užití tohoto školního díla ve smyslu § 60 Zákona č.121/2000 Sb., o právu autorském, o právech souvisejících s právem autorským a o změně některých zákonů (autorský zákon).

V Praze dne 13.8.2019

.....

podpis

Děkuji doc. Ing. Ivo Bukovskému, Ph.D. za odborné vedení, rady a velkou trpělivost při tvorbě této práce. Za všechnen čas, který mi věnoval a za vše co jsem se od něj naučil. Hlavní dík však patří mé rodině, která mě celé studium i mimo něj vždy podporovala. Pak také mé partnerce a přátelům. Bez jejich morální i jiné podpory by nic z toho nebylo možné.

Obsah

1 Úvod	10
2 Strojové učení	11
2.1 Vývoj ML	11
2.2 Rozdělení ML	12
2.2.1 Unsupervised learning	12
Používané aplikace	13
Využití	13
2.2.2 Reinforcement learning	14
Používané aplikace	15
Využití	15
2.2.3 Supervised learning	16
2.3 Postup tvorby ML	18
3 Neuronové sítě	19
3.1 Formální neuron	20
3.2 Neuronové architektury	22
3.2.1 Dynamické změny	22
4 Neuronové modely	23
4.1 MLP – Vícevrstvá neuronová síť	23
4.1.1 Aktivační funkce	24
Standardní sigmoida	24
ReLU – Rectified Linear Unit	25
4.2 ELM – Extreme learning machine	26
4.3 HONU – Higher Order Neural Unit	27
4.3.1 Optimalizace HONU	28
4.4 LSTM – Long Short Term Memory	29
4.4.1 Struktura LSTM	30
5 Učící algoritmy	32
5.1 Backpropagation	32
5.2 Gradient Descent	33
5.3 Levenberg – Marquardt	34
6 Měření teploty v řezu	34
6.1 Termočlánky	35
6.2 Zapojení termočlánků	36
7 Algoritmus pro rekonstrukci teplotních polí v turbomotoru	37
7.1 Datové vzorky	37
7.1.1 Reálná data	37
7.1.2 Umělá data	38
7.1.3 Náhodná data	39
7.2 Analýza reálných dat	40
7.3 Příprava dat – Data Preprocessing	41
7.3.1 Z-Scoring	41
7.3.2 Normalizace dat	43
7.3.3 Trénovací, testovací a validační sada dat	44
7.4 Python, Keras	45
7.4.1 Python	45

7.4.2 Keras.....	46
7.5 MLP.....	46
7.5.1 Velikost dávky.....	47
7.5.2 Typ aktivační funkce.....	48
7.5.3 Shrnutí.....	48
7.5.4 Otestování na umělých datech a náhodných datech.....	49
7.6 LSTM.....	49
7.6.1 Velikost dávky.....	49
7.6.2 Typ aktivační funkce.....	51
7.6.3 Shrnutí.....	51
7.6.4 Otestování na umělých datech a náhodných datech.....	52
8 Aplikace algoritmů na experimentálním data.....	52
8.1 MLP.....	52
8.1.1 Ukázky využití.....	54
8.2 LSTM.....	56
8.2.1 Ukázky využití.....	56
8.3 Shrnutí.....	58
9 Závěr.....	58
Bibliografie.....	60
Seznam příloh.....	64

Seznam obrázků

Obr. 2.1: Ukázka zařazení ML jako podoboru umělé inteligence.....	11
Obr. 2.2: Ukázka postupného Clusteringu náhodných dat [8].....	13
Obr. 2.3: Princip zpětné vazby v učení hry Go.....	15
Obr. 2.4: Příklad klasifikace typů orchidejí podle šířky a délky okvětních lístků	17
Obr. 2.5: Ukázka proložení bodů pro získání regresní křivky.....	18
Obr. 2.6: Obecný postup tvorby modelu ML.....	18
Obr. 3.1: Nákres biologického neuronu [11].....	20
Obr. 3.2: Schéma formálního neuronu.....	21
Obr. 3.3: Průběh aktivačních funkcí - (1)skoková, (2)spojitá lineární, (3)standartní sigmoida, (4)hyperbolický tangens; [11].....	22
Obr. 4.1: Schéma MLP s 1 skrytou vrstvou.....	24
Obr. 4.2: Zobrazení aktivační funkce ReLU.....	25
Obr. 4.3: Schéma HONU modelu neuronu[4].....	27
Obr 4.4: Design RNN [32].....	30
Obr 4.5: Struktura paměťové buňky LSTM[32].....	30
Obr 6.1: Schéma termočlánku [28].....	35
Obr 6.2: Schéma turbomotoru PT6 [33].....	36
Obr 7.1: Schéma zapojení termočlánků[29].....	37
Obr. 7.2: Schématický náznak rozložení dat z řezu turbomotoru.....	38
Obr 7.3: Zobrazení náhodně vygenerovaného datového vzorku.....	39
Obr 7.4: Rekurentní zobrazení jedné z měřených teplot. Tmavější místa vyznačují podobnost mezi hodnotami v daném čase.....	40
Obr 7.5: Náznorné zobrazení rozdělení dat na neustálený (modrá) a ustálený stav (zelená).....	41
Obr. 7.6: Z-Score dat na zvoleném průměru (C) vzorkování 20.....	42
Obr. 7.7: Z-Score dat na jedné výseči (A) vzorkování 20.....	43
Obr. 7.8: Graf normalizovaných dat na středním průměru.....	44
Obr 7.9: Rozdělení na trénovací validační a testovací sadu dat.....	45
Obr 7.10: Porovnání velikosti dávky 10 a 26. Nižší hodnota je lepší.....	47
Obr 7.11: Vývoj chybové funkce a procentuální chyby podle velikosti dávky. .47	47
Obr 7.12: Rozdíl v přesnosti mezi aktivačními funkcemi. Menší hodnota je lepší.....	48
Obr 7.13: Vývoj chybové funkce u LSTM při různé velikosti dávky.....	50
Obr 7.14: Porovnání přesnosti dávek 20 a 40.....	50
Obr 7.15: Rozdíl v aktivačních funkcí u LSTM.....	51
Obr 8.1: Graf velikosti chyby v závislosti na využitě teplotě pro predikci pomocí MLP.....	53
Obr 8.2: Ukázka předpovědi vývoje teploty D2 z teploty C3.....	54
Obr 8.3: Reálná data z úhlu (A) pro porovnání.....	55
Obr 8.4: Predikovaná data na úhlu (A) z teploty C3.....	55
Obr 8.5: Graf velikosti chyby v závislosti na využitě teplotě pro predikci pomocí LSTM.....	56

Obr 8.6: Predikce jedné teploty pomocí LSTM za využití teploty C3.....57
Obr 8.7: Reálné hodnoty teplot na úhlu (A).....57
Obr 8.8: Predikované teploty za pomocí LSTM.....58

Seznam tabulek

Table 1: Specifikace MLP modelu.....48
Table 2: Výsledky aplikace na umělé datové vzorky.....49
Table 3: Shrnutí optimálního nastavení LSTM modelu.....51
Table 4: Výsledky optimalizovaného modelu LSTM.....52

Seznam použitých zkratk a jednotek

ML	Machine learning
UI	Umělá inteligence
MLP	Multi-layer Perceptron
HONU	Higher order neural unit
ELM	Extreme learning machine
LSTM	Long-Short term memory
PCA	Principal Components Analysis
A(NN)	Artificial (Neural Network)
BP	BackPropagation
MAE	Mean absolute error
<i>s / ms</i>	sekunda / milisekunda
°C	stupeň Celsia

1 Úvod

Díky modernizaci a digitalizaci průmyslu a jiných odvětví, během posledních několika let, strmě stoupá množství dat, která z procesů v těchto jednotlivých odvětvích získáváme. Následkem zmenšování počítačů a růstu jejich výpočetního výkonu a díky vývoji v senzorické technice a možnostech rozlišitelnosti jednotlivých vstupů, máme nyní přístup k enormnímu datovému vzorku popisující dané děje. Tato nezpracovaná data však sama o sobě povětšinou nemají velkého užitku. Přidaná hodnota vzniká při analýze originálních dat a následným aplikačním využitím. Proto dnes vědní obory jako statistika či datová analýza zažívají velký boom [1]. V době, kdy snížení nákladů či preventivní zamezení ztráty, znamenají kýžený nárůst efektivity podniku ve stále více konkurenčním prostředí, je možnost účinně získávat a následně správně analyzovat data nedocenitelná. Využití jako prediktivní údržba či návrh logistiky a optimalizace materiálových cest, vyhodnocování dat z testů a další, jsou jedny z mála věcí, které jsme schopni dnes za pomoci datové analýzy dosáhnout.

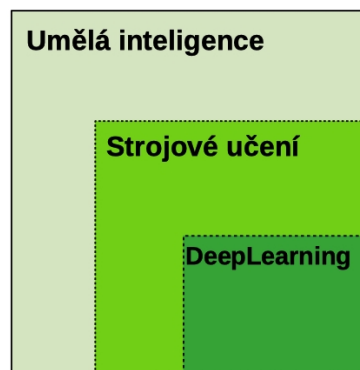
Jednou z hojně využívaných technik pro účinnou analýzu dat a informací je i strojové učení [2]. Metody strojového učení spočívající ve využití neuronových sítí a jejich schopnosti přizpůsobovat se podle vnějších stimulů (vstupních dat) a chovat se podobně jako struktura lidského mozku jsou jednou z nejvíce rozvíjejících se oblastí informační technologií.

Cílem této práce je provést rešerši dané problematiky a popsat některé z modelů neuronových sítí a jejich možnosti využití. V následujících kapitolách bude popsán princip fungování modelů **MLP** (angl. *Multi Layer Perceptron*[3]), **HONU** (angl. *Higher Order Neural Unit*[4]), **ELM** (*Extreme Learning Machine*) a **LSTM** (*Long Short Term Memory*[5]). U těchto metod budou zhodnoceny jejich výhody a nevýhody při využití s reálnými daty. Dalším cílem je vytvoření některých z těchto neuronových sítí v programovacím jazyce Python[6]. Bude také proveden, krátký průzkum možností měření teplot v jednotlivých řezech turbodmychadla. Následně budou vytvořené neuronové sítě aplikovány na data z reálného turbodmychadla [7] a využity na predikci vývoje teploty vzduchu v jednotlivých oblastech motoru v konkrétním řezech. Cílem je

zjistit zda je možné z hodnot jedné konkrétní teploty v jednom bodě dopočítat teplotu ve všech ostatních.. Porovnat výsledky jednotlivých typů sítí a zjistit jejich přesnost. Následně získané závislosti využít na predikci na jiném umělém vzorku dat, kde budeme záměrně přidávat množství šumu a otestujeme tak robustnost učících algoritmů.

2 Strojové učení

Strojové učení (angl. *Machine learning*) je podobor oblasti vývoje, kterou dnes nazýváme umělou inteligencí (viz. Obr. 2.1) . Jedná se o soubor metod, jenž jsou schopny automaticky vytvářet analytické modely, které pak můžeme využít pro datovou analýzu. Pomocí algoritmů, které se postupně učí a adaptují na poskytnutá data je ML schopno poskytnout náhled na vnitřní závislosti v datech bez toho, aby byl algoritmus předem instruován, kde hledat[2, 8]. Obecně základní technikou ML je prohledávání stavového prostoru. Mezi běžné rysy ML lze zařadit využívání znalostí, práce se symbolickými nebo strukturovanými proměnnými či aplikace poznatků z nestandardních logik. Nejtypičtější úlohou strojového učení je pomoc při získávání znalostí z dat, tzv. *Data mining*.



Obr. 2.1: Ukázka zařazení ML jako podoboru umělé inteligence

2.1 Vývoj ML

Historicky raný vývoj ML započal už na začátku 19. století s příchodem využití lineární algebry v oblasti statistiky. V té době byla uveřejněna práce Adrien-Marie Legendra a Carl Friedrich Gausse popisující *metodu nejmenších čtverců*, která

využívala rané formy lineární regrese[8]. Později bylo toto odvětví posunuto také Pierre-Simon Laplacem, jenž rozvinul práci Thomas Bayese¹ a definoval to čemu dnes říkáme Bayesův teorém.

S příchodem výpočetní techniky nastává velký rozvoj ML. Již v roce 1950 Alan Turing navrhuje možnost „učícího se stroje“, který by mohl být považován za umělou inteligenci². Už v roce 1951 poté přišli Marvin Minsky a Dean Edmonds s prvním strojem obsahujícím neuronovou síť schopnou se učit, *SNARC*³. Vývoj pokračoval dál a s rostoucím výkonem počítačů rostlo i tempo objevů nových teorií i možností implementace ML. Počítače jsou díky ML schopny hrát piškvorky nebo šachy a provádět náročné výpočty. Při implementaci senzorů je stroj se schopen pohybovat a vyhýbat překážkám. Jsou postulovány nové metody jako *Perceptron* nebo rekurentní neuronové sítě. V roce 1997 je poté počítač od společnosti IBM, pojmenovaný *Deep Blue*, schopen porazit světového šampiona v šachu Garry Kasparova.

S příchodem 21. století je ML a hlavně UI věnována velká pozornost a jejich vývoj je součástí inovačních strategií většiny vyspělých zemí[2, 8, 9].

2.2 Rozdělení ML

Velice obecně rozlišujeme celkem 3 základní metody ML. Tyto 3 metody se odlišují hlavně podobou vstupů a výstupů, čímž se následně odlišuje i jejich využití. Jedná se o:

2.2.1 Unsupervised learning

V této práci není unsupervised learning („učení bez učitele“) využito, tudíž se pouze krátce zmiňuje o používaných aplikacích a jejich využití.

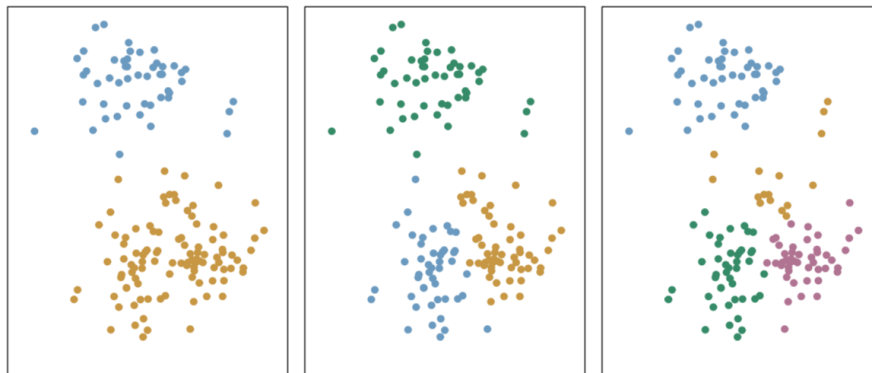
Unsupervised learning je metoda strojového učení, kdy učícímu se systému dáme pouze vstupní data a nedáme mu k dispozici požadované (preferované) výsledky. Data nejsou nijak označena ani rozdělena do kategorií. Od metody očekáváme, že sama dokáže najít závislosti v datovém vzorku a postupně se na ně adaptovat. Následně je

1 *Solving a Problem in the Doctrine Chances*
2 Turingův test – dnes základním kritériem UI
3 Stochastic neural analog reinforcement calculator

schopna vyhodnotit zda se tyto závislosti vyskytují i v dalších testovaných vzorcích. Jedná se o náročnější metodu, jelikož výsledky mohou být subjektivně interpretovány a neexistuje žádný univerzální způsob jejich ověření třeba křížovou validací[9]. Většina hlavních aplikací je z oblasti odhadu hustoty výskytu ze statistiky. Snahou je co nejlepší interpretace dat bez ztráty přesnosti.

Používané aplikace

- **PCA** neboli *Principal Components Analysis* je aplikace, kterou využíváme pokud máme k dispozici větší množství korelovaných dat. Pomocí PCA jsme schopni udělat kompresi daných dat a vytvořit interpretaci dat, které má menší rozměr než data původní[8–10].
- **Clustering** je název skupiny aplikací, které dokáží nacházet podskupiny neboli shluky v datech. Tyto shluky se snaží tvořit tak, aby jednotlivé elementy shluku měli co největší podobnost, aniž by nás zajímal význam jednotlivých elementů. Jedna z typických metod shlukování je K-Means Clustering[8, 9]. Na Obr. 2.2 vidíme postupnou tvorbu výsledných shluků.



Obr. 2.2: Ukázka postupného Clusteringu náhodných dat [8]

Využití

Pomocí unsupervised learning sice nedosahujeme výsledků co se týče predikce, ale zato vynikají v nalezení skrytých vzájemných vztahů mezi daty. Velké úspěchy se daří na poli výzkumu rakoviny prsu, kdy je ML aplikace schopna nalézt společné prvky u pacientů s rakovinou[8]. Dále se hodí jako příprava dat pro neuronové sítě nebo jiné metody supervised learningu[9]. Jsou sice časově a strojově náročnější, ale do budoucna je do nich vkládán velký potenciál, protože stále roste množství dat, která

jsou třeba analyzovat a unsupervised learning metody dokážou nacházet souvislosti, které by člověk odhalit nedokázal[11, 12].

2.2.2 Reinforcement learning

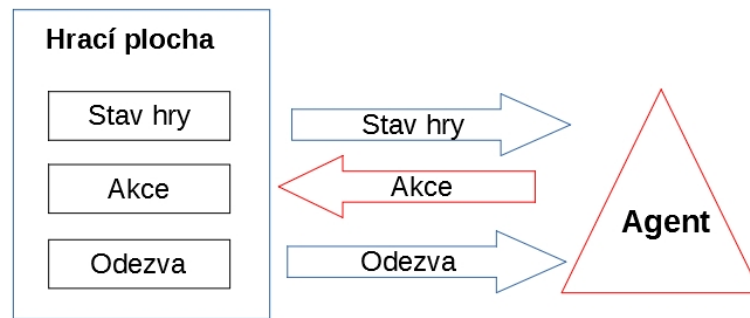
Ani reinforcement learning není využit v praktické části této práce a tudíž následující popis je pouze povrchní shrnutí informací.

Česky přeloženo „zpětnovazební učení“ je metoda strojového učení, která je inspirována behavioristickou psychologií a je částečně podobná způsobu, jakým se učí malé děti[10]. Oproti ostatním metodám ML je tato rozdílná v tom, že je aplikována ve formě **agentů**, kteří jsou vloženi do **prostředí**⁴, ve kterém se musejí sami adaptovat a vytvořit si systém **pravidel chování** na základě **odezvy** z prostředí a následně je aplikovat pro dosažení maximálního užitku. Toto je asi hlavní rozdíl oproti ostatním metodám ML, které se zaměřují na nalezení vzorů v datech nebo predikci. Tato metoda využívá přístupu *pokus-omyl*. Výhodou také je, že si vystačí s menším vzorkem dat oproti ostatním metodám[9, 13].

Příkladem může být UI podpořený počítačový software *AlphaGo*, který byl vytvořen panem Fan Hui. Této UI byly předány pouze základní principy hry a to, že cílem hráče je obklopit svými kameny větší území než soupeř. *AlphaGo* bylo schopno se naučit a vytvořit si systém pravidel a akcí pro všechny možné kombinace⁵, které dokázalo zužítkovat při hře proti světovému šampionovi, jehož porazilo 4:1 na hry. V tomto příkladu **agent** byl počítač *AlphaGo* a **prostředí** byla hrací plocha s kameny, počítač zkusí táhnout (**akce**) a následně vyhodnotí pozitivní či negativní dopad (**odezvu**) na celkový stav hry viz. Obr. 2.3.

4 Někdy nazýváno Markovův rozhodovací proces

5 Až 10⁷⁶¹ kombinací



Obr. 2.3: Princip zpětné vazby v učení hry Go

Používané aplikace

- **Kritérium optimality** (*Criterion of optimality*) je algoritmus, který mapuje možnosti chování agenta a postupným zužováním výběru následující akce, dosahuje neoptimálnějšího řešení.
- **Aplikace hrubé síly** (*Brute Force*) je svým přístupem relativně jednoduchá metoda. Spočívá v rozdělení možných postupů k dosažení výsledku a jejich následným testováním s tím, že jako ideální je zvolena metoda s největším užitekem. Nevýhodou tohoto přístupu je z logiky věci to, že možné cesty k dosažení kýženého výsledku mohou být v některých případech takřka nekonečně a tudíž převyšující dostupnou výpočetní kapacitu.
- **Užitkové funkce** (*Valuation function*) se snaží dosáhnout optimálního výsledku tím, že má přednastaveny očekávané reakce a jednotlivé postupy s nimi porovnává. Ten jež se bude nejvíce shodovat je poté zvolen.

Využití

Nejpříhodnějším využitím reinforcement learning metody je pro aplikace, kde se snažíme optimalizovat reakce systému z dlouhodobého hlediska a nehledíme na krátkodobé nezdary. Velké uplatnění nachází v simulačních modelech, kde známe přesný popis prostředí, ale nikoliv analytické řešení problému. Příkladem aplikace může být i možnost robota, který se sám naučí vykonávat jistou činnost (otevřít dveře, něco uchopit). Můžeme jej nechat dlouho vykonávat tuto činnost, dokud nepřijde s optimální řešením → otevřou se dveře, uchopí předmět[8, 13, 14].

2.2.3 Supervised learning

Česky přeloženo „učení s učitelem“ je oproti předchozím dvěma metodám rozdílné v tom, že algoritmu předkládáme datový vzorek, kde je obsažena jak množina vstupů (X), tak i množina jim příslušících výstupů (Y). Cílem je, aby byl algoritmus schopen nalézt vazby uvnitř datového vzorku, a poté je využít pro predikci dalšího průběhu. Data pro algoritmus mohou být poskytována člověkem nebo automaticky, kdy tak jednají právě jako „učitel“ [9]. Neuronové sítě použité později v této práci jsou příkladem využití ML se supervised learning, kde máme ať už reálná nebo umělá data a hledáme v nich závislosti, které chceme následně využít pro predikci dalších dat. [9]

$$Y = f(X) \quad (2.1)$$

Obecně se metody supervised learning rozdělují do dvou kategorií:

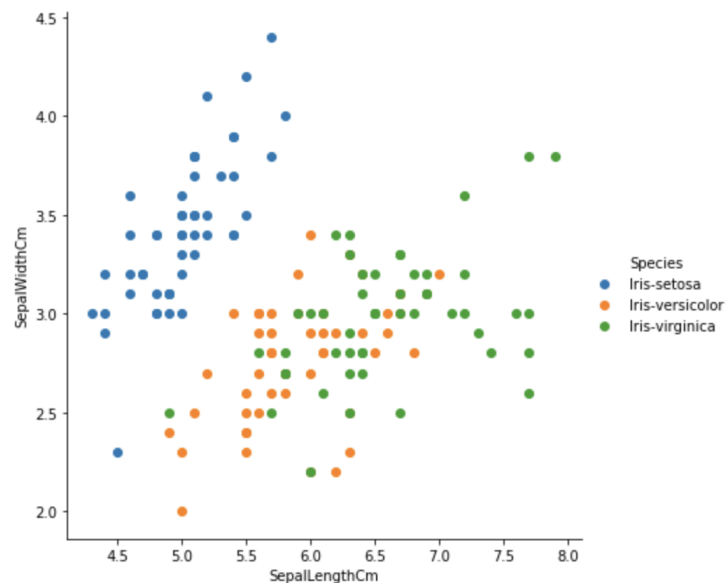
1. **Klasifikace**
2. **Regrese**

Klasifikační ML nám umožňuje na základě vstupních dat rozhodnout do, které kategorie bude spadat výstup. Pro ilustraci si lze představit, že po poskytnutí trénovacích dat běžné lidské populace (výška, váha, věk), může algoritmus odhadovat, zda daný vzorek spadá do skupiny žena (1) nebo muž (0). Výsledkem pak může být třeba graf obsahující dělicí linii nebo barevné rozdělení na skupiny, podle které spadají data do jedné z těchto kategorií. Na Obr. 2.4 můžeme vidět klasifikační rozdělení druhů orchidejí podle velikosti jejich okvětních lístků⁶. Tato metoda se hodí pro typy úloh, kde neřešíme kvantitativní výsledek, ale právě kvalitativní. I když v některém z kroků řešíme i kvantitativní problém, kdy řešíme pravděpodobnost jednotlivých kategorií, proto částečně připomíná regresní modely [8, 9].

⁶ Klasický datový vzorek pro ML dostupný z: <https://archive.ics.uci.edu/ml/datasets/iris>

Nejčastěji používané metody klasifikační ML jsou:

- **Logistická regrese**
- **Analýza lineárního diskriminantu**
- **K-Nearest neighbors**



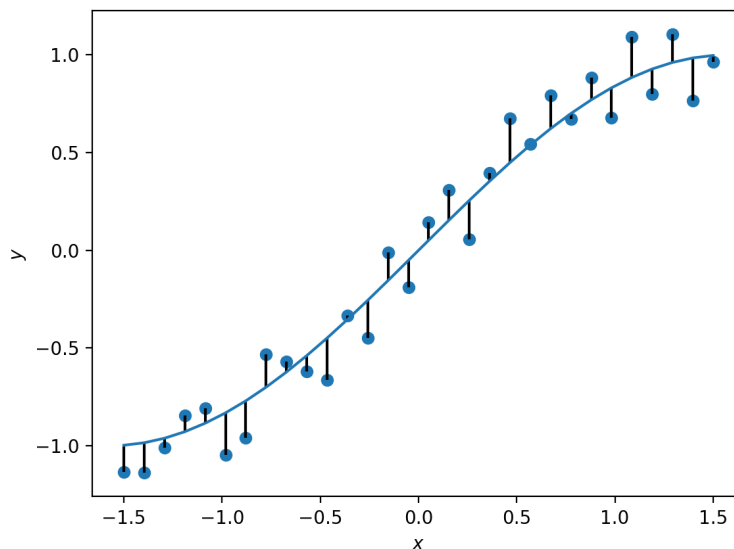
Obr. 2.4: Příklad klasifikace typů orchidejí podle šířky a délky okvětních lístků

Regresní ML zakládá na kvantitativním odhadování výsledku. Využíváme různých typů regrese a výpočtů. Jednoduché využití může být ku příkladu odhad platu zaměstnance podle délky zaměstnaneckého poměru. Na Obr. 2.5 vidíme regresní křivku vytvořenou proložení náhodně vytvořených bodů. Algoritmus se snaží vytvořit křivku tak aby vzdálenost jednotlivých bodů od křivky byla co nejmenší. Snažíme se „nafitovat“ křivku na dané body za pomoci využití chybových funkcí jako SSE – sum of squared errors (suma chyb na druhou). Rovnice (2.2) popisuje funkci pro vykreslení regresní přímky. Zde v této rovnici je β_0 posunutí počátku křivky a β_1 je sklon křivky ,někdy jsou také nazývány jako koeficienty regrese [8, 9, 12].

$$Y \approx \beta_0 + \beta_1 X \quad (2.2)$$

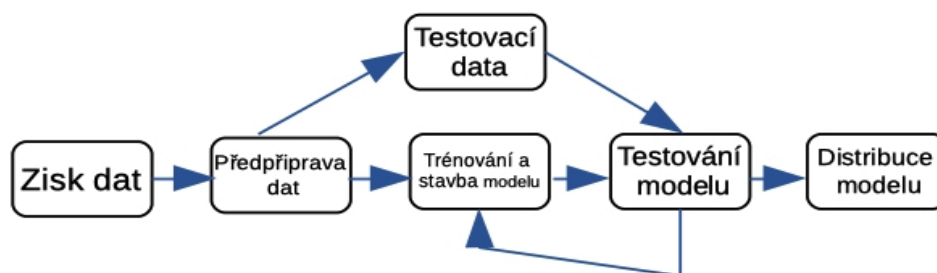
Nejčastěji používané metody regresní ML:

- Lineární regrese
- Polynomická regrese
- Support Vector



Obr. 2.5: Ukázka proložení bodů pro získání regresní křivky

2.3 Postup tvorby ML



Obr. 2.6: Obecný postup tvorby modelu ML

Pokud bychom zobecnili běžný postup při tvorbě ML modelu, dostali bychom přibližně proces jako na Obr. 2.6. Jako první krok musí být samozřejmě získání dat. Ta by měla následně projít nějakou předpřípravou. V této fázi se většinou uplatňuje z-scoring⁷ či jiné škálování dat a také třeba odstraňování odlehlých hodnot. Tyto metody

⁷ Vychází ze standardního rozdělení podél průměru

mají za cíl to, aby následný proces učení byl co nejefektivnější. Poté rozdělíme připravená data na trénovací a testovací sadu. Účelem je, abychom mohli model ověřit na datech u kterých známe správný výsledek a tudíž můžeme určit přesnost modelu. Po rozdělení dat se model učí na trénovacích datech požadovanou činnost pomocí metod popsaných výše. Následně využijeme testovacích dat k ověření výsledku. Snažíme se zabránit takzvanému *overfittingu*. Podle potřeby model upravíme tak, abychom dosáhli co největší přesnosti. Následně model distribuujeme a nasazujeme na další data[8, 15].

3 Neuronové sítě

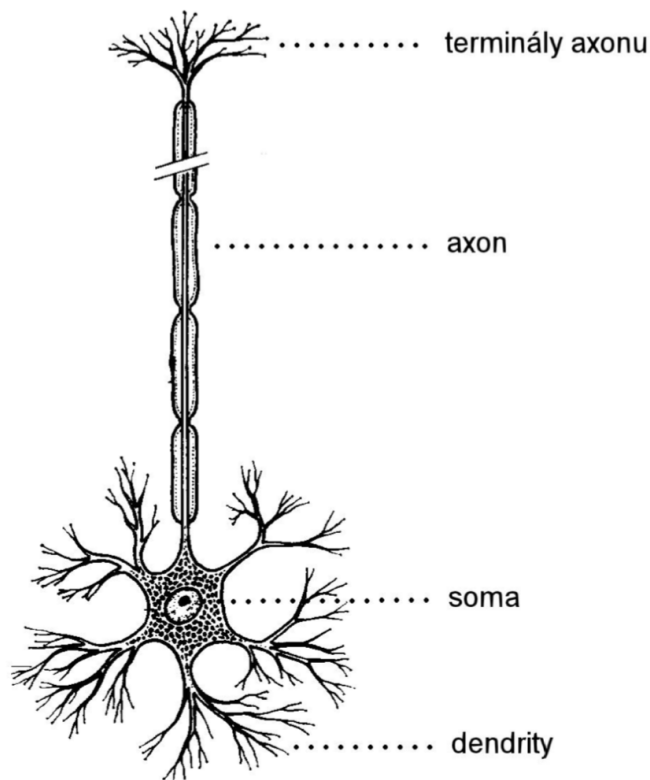
Historicky bychom počátek neuronových sítí (ANN, Artificial Neural Network) mohli datovat do roku 1943. Tehdy Walter Pittse a Warren McCulloch uveřejnili jeden z prvních matematických modelů umělého neuronu. Dali tak podnět ke vzniku nového odvětví. V roce 1949 je následoval Donald Hebb s knihou „*The Organization of Behaviour*“, ve které postuloval pravidlo pro učení synapsí neuronů⁸. Poznatky čerpal z myšlenky, že vlastnosti jednotlivých neuronů se dají pozorovat jako podmíněné reflexi u všech živočichů[14, 15]. Další pokrok přinesl Frank Rosenblatt, jenž zobecnil Pittsův a McCullochův neuron a navrhl pro něj učící algoritmus *Perceptron*[9]. Vydal také jednu z prvních knih o neurovýpočtech⁹, a proto bývá také někdy považován za zakladatele tohoto oboru. V následujících letech oblíbenost celého oboru značně kolísala, jelikož nebyly vyřešeny problémy jako, jak na učení více vrstev spojených neuronů v neuronových sítích. Bez tohoto totiž nebyl samotný perceptron schopen vyřešit jednoduchou funkci **XOR** (vylučovací disjunkce), což bylo tomuto oboru značně vyčítáno. Přelom přišel v roce 1986, kdy David Rumelhart, Geoffrey Hinton a Ronald Williams uveřejnili článek v němž popsali algoritmus pro zpětné šíření chyby ve vícevrstvých neuronových sítích – *Backpropagation*. Od té doby opět narůstal zájem o tento vědní obor a zůstává tak až do dnes. Začaly se objevovat nové druhy neuronových sítí a nové možnosti učících algoritmů. Studium neuronových sítí je nyní na vrcholu vlny zájmu o tento obor a je otázkou, jak bude dále pokračovat[11]. Co lze říct je, že neuronové sítě a na nich postavené aplikace jsou dnes součástí skoro,

8 Hebbovo učení

9 *Principles of Neurodynamics*

každého analytického programu a pomalu se dostávají do stále běžnější oblasti jako telefony, televize, autonomní vozidla, vyhledávací algoritmy a jiné.

Základní myšlenkou NN je přiblížit se struktuře podobné lidskému mozku. Neuronová síť biologických neuronů je tvořena jednotlivými neurony. Biologický neuron (Obr. 3.1) je tvořen tělem neboli *soma*, poté vstupními a výstupními kanály – *dendrity* a *axony*. Axony mají na konci terminály, kterými se připojují na dendrity dalších neuronů a tím tvoří neuronovou síť. Přenos informací mezi neuronu umožňuje chemická vazba *synapse*. [11, 15, 16]

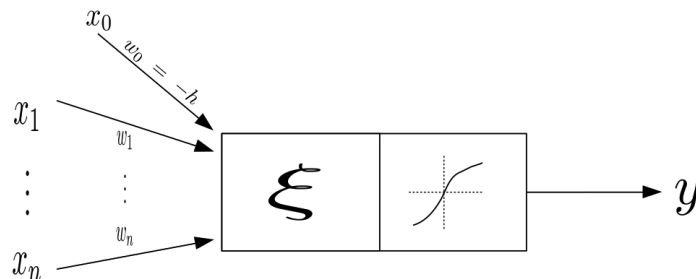


Obr. 3.1: Nákres biologického neuronu [11]

3.1 Formální neuron

Základním kamenem neuronové sítě je matematický model biologického neuronu – formální neuron, také nazývaný *perceptron*. Jeho struktura je schématicky znázorněna na Obr.3.2 . Neuron má obecně n vstupů x_1, \dots, x_n , které simulují dendrity.

Těmto vstupům jsou přidělovány synaptické váhy w_1, \dots, w_n . Tyto váhy určují důležitost a vliv jednotlivých vstupů na spuštění neuronu.



Obr. 3.2: Schéma formálního neuronu

Váhy mohou být i záporné a tudíž fungovat jako blokátor jednotlivých vstupů. Fungují tedy jako vstupní filtr pro vstupy z okolí nebo z jiných neuronů. Suma součinů vah a vstupů tvoří *vnitřní potenciál* neuronu.

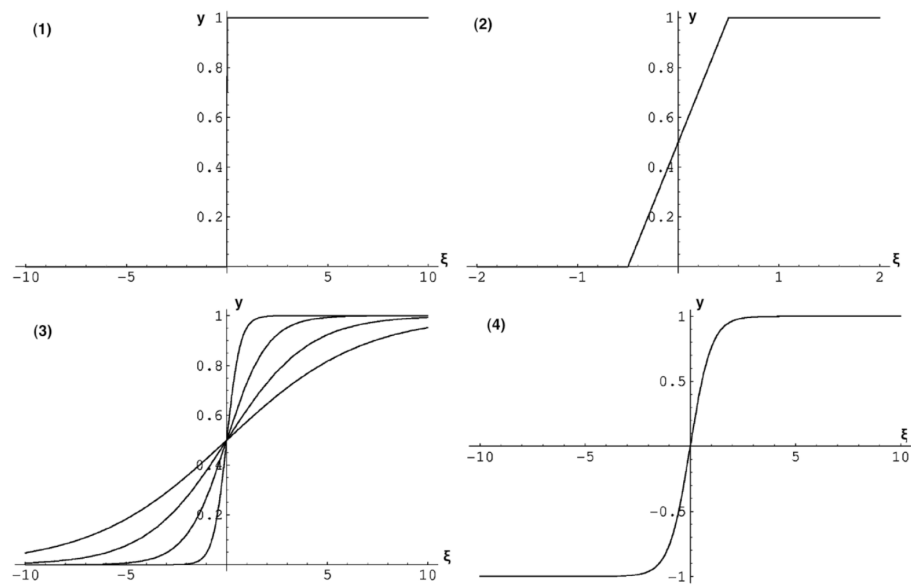
$$\xi = \sum_{i=0}^n w_i x_i \quad (3.1)$$

Součástí vstupní matice může být i *bias*. Jedná se obrácenou prahovou hodnotu h . Je začleněn do vstupní matice a má i vlastní váhu. Při překročení prahové hodnoty je neuron excitován a vyšle impuls (výstupní hodnotu). Cílem *biasu* je také vymanění funkce z lokálního minima do globálního minima.[11, 14, 15, 17].

$$\xi = w_0 + \sum_{i=0}^n w_i x_i = b + \sum_{i=0}^n w_i x_i \quad (3.2)$$

Nelineární nárůst výstupní hodnoty $y = \sigma(\xi)$ při dosažení prahové hodnoty potenciálu h je dán aktivační (přenosovou) funkcí. Nejjednodušším typem *aktivační funkce* je tzv. ostrá nelinearita. Dalšími typy aktivační funkce může být spojitá linearita, standardní sigmoida, hyperbolický tangens. Jejich průběh je znázorněn na Obr. 3.3. Možné stavy pro ostrou nelinearitu pak můžeme zapsat takto:

$$\sigma(\xi) = \begin{cases} 1 & \text{jestliže } \xi \geq 0 \\ 0 & \text{jestliže } \xi < 0 \end{cases} \quad (3.3)$$



Obr. 3.3: Průběh aktivačních funkcí - (1)skoková, (2)spojitá lineární, (3)standartní sigmoida, (4)hyperbolický tangens; [11]

Formálně lze tedy zapsat, že neuronové modely jsou funkcí:

$$y = f(x, w) \quad (3.4)$$

Kde \mathbf{X} je vektorem vstupů včetně biasu a \mathbf{W} je vektorem synaptických vah.

3.2 Neuronové architektury

Neuronové sítě jsou tvořeny spojením formálních neuronů tak, že výstup jednoho je vstupem do jednoho či více dalších neuronů. Počet neuronů a jejich vzájemné propojení určuje *topologii* sítě. Tyto jednotlivě propojené neurony rozdělujeme do vrstev. Nejčastější rozdělení vrstev je na *vstupní*, *skryté* a *výstupní*. V jednotlivých vrstvách může být různý počet neuronů. Stavů všech neuronů v síti určují *stav neuronové sítě* a synaptické váhy představují *konfiguraci neuronové sítě*. [15, 18]

3.2.1 Dynamické změny

Neuronová síť se časem adaptuje a mění jednotlivé váhy a spojení. Tyto změny můžeme rozdělovat podle jejich účinku do 3 kategorií:

- **Organizační změna** – jedná se o změnu topologie sítě. Síť se může rozšiřovat o další neurony, případně spoje. Většinou však síť zůstává stálá. Organizaci sítě však může rozlišit na *rekurentní* a *dopřednou*.
- **Aktivní změna** – neurony jsou nastaveny na základě počátečních vstupů, následně v čase probíhají výpočty a mění se stavy jednotlivých neuronů (*sekvenční výpočet*) nebo více neuronů najednou (*paralelní výpočet*). Na základě toho zda mění svůj stav centrálně nebo nezávisle na sobě rozlišujeme ještě *centrální* a *asynchronní* modely.
- **Adaptivní změna** – na počátku se nastaví základní váhy jednotlivých spojů. Adaptováním se v čase postupně mění konfigurace sítě, tedy váhy jednotlivých spojení. Předpokládáme, že změna vah je spojitou funkcí v čase. Cílem této změny je najít takovou konfiguraci, která bude nejlépe realizovat předepsanou funkci a minimalizace chyb ve váhové prostoru [11, 15, 17].

$$w_{ji}^{(t)} = w_{ji}^{(t-1)} + \Delta w_{ji}^{(t)} \quad (3.5)$$

4 Neuronové modely

4.1 MLP – Vícevrstvá neuronová síť

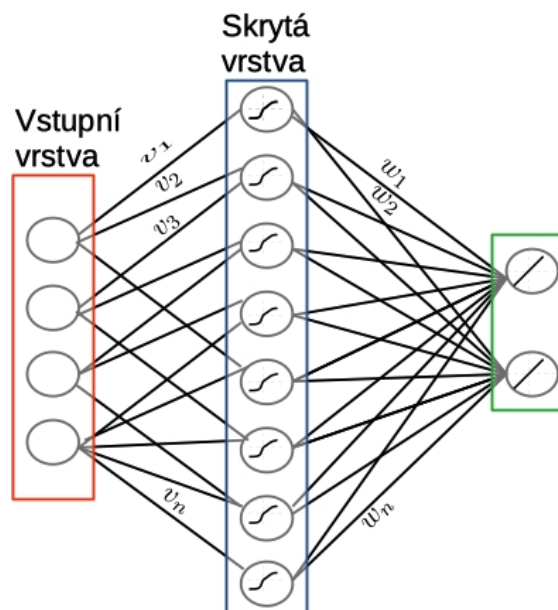
Jedná se o jeden z nejstarších modelů vícevrstvé neuronové sítě. Organizační strukturou se jedná o *dopřednou* síť. Jejím cílem je aproximace nějaké funkce f^* . Snažíme se namapovat určitý vstup na výstup a po naučení ji používat na predikci dalších hodnot. Tvoří základ většiny běžně využívaných aplikací strojového učení a se svými různými obměnami se jedná o nejpoužívanější typ NN vůbec.[3, 9, 11]

Na Obr. 4.1 vidíme schéma jednoduché MLP sítě s 1 skrytou vrstvou. Vstupní vrstva reprezentuje vektor vstupů do sítě x_0, \dots, x_n . Neurony v této vrstvě jsou následně excitovány a poté jsou zesíleny či zeslabeny pomocí synaptických vah $v_1 \dots v_n$ a přivedeny do další vrstvy. Neurony v následující skryté vrstvě provedou součet k nim přivedených vazeb podle již známého vztahu $\sum_{i=0}^n v_{ij}x_{ij}$ a následně je využit v aktivační

funkci daného neuronu, která určuje excitaci tohoto neuronu. Skryté vrstvy obvykle obsahují neurony, které mají nelineární aktivační funkci. Na schématu je využita aktivační funkce *sigmoida*. Takto je neuron ve skryté vrstvě excitován a informaci posílá do další vrstvy. V našem schématu následuje již vrstva výstupní. Do této vrstvy, opět vazbami posílenými či zeslabenými synaptickými vahami $w_1 \dots w_n$, vstupují informace ze všech neuronů. Ty jsou opět sumarizovány a využity v aktivační funkci, v případě výstupní vrstvy funkci *lineární*. Poté nastává fáze „učení“, kdy se aktualizují hodnoty vah a biasu, které při výstupu neprodukovali požadované výsledky[14, 17]. Výstup sítě je tedy možno sumarizovat následující rovnicí:

$$y = \vec{w} \cdot \sigma(\vec{v}) = \vec{v} \cdot \sigma(\vec{V} \cdot \vec{x}) \quad (4.1)$$

- kde \vec{w} je vektor vah výstupního neuronu
- $\sigma(\vec{v})$ je aktivační funkce skryté vrstvy
- a $\vec{V} \cdot \vec{x}$ je součin vektorů vstupů a vektor vah skryté vrstvy



Obr. 4.1: Schéma MLP s 1 skrytou vrstvou

4.1.1 Aktivační funkce

Standardní sigmoida

Jedná se o často využívanou aktivační funkci v neuronových sítích. Její výhodou je spojitost a hladkost v celém průběhu a z toho její vyvozená

diferencovatelnost. Umožňuje nám spojitě aproximovat ostrou nelinearitu.[11] Na rovnici (4.2) vidíme její matematický popis.

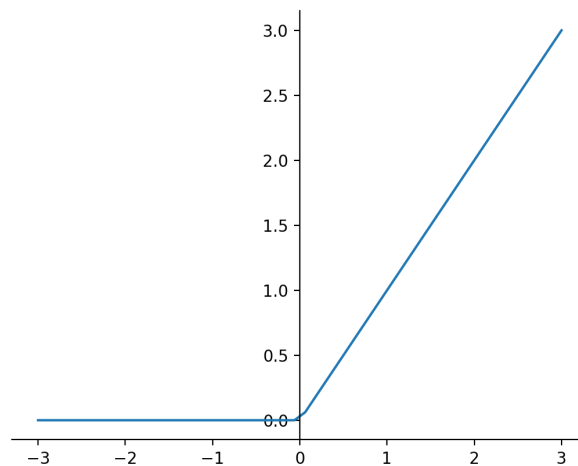
$$\sigma = \frac{1}{1 + e^{-\lambda x}} \quad (4.2)$$

Diferencovatelnost standardní sigmoidy je také výhodou i pro následné učení za pomocí *back propagation*. Parametr *strmosti* λ je reálná složka funkce a mění nelineární nárůst funkce v okolí nuly, tj. určuje míru „rozhodnosti“ neuronu. Vliv strmosti na funkci lze vidět na Obr. 3.3. Pokud bychom vzali $\lambda \rightarrow \infty$ dostáváme ostrou nelinearitu. Pověšinou je ale využíváno $\lambda = 1$, může se však lišit pro každou vrstvu a každý jednotlivý neuron ve vrstvě.

ReLU – Rectified Linear Unit

Jedná se o lineární aktivační funkci, která dává výstup pokud se hodnoty vstupu pohybují nad 0, jinak vrací 0. Matematicky je popsána rovnicí (4.3).

$$y = x^+ = \max(0, x) \quad (4.3)$$



Obr. 4.2: Zobrazení aktivační funkce ReLU

A graficky přibližně jako na Obr. 4.2. Výhodou ReLU je její nenáročnost na výpočetní kapacitu. Oproti sigmoidě nebo hyperbolickému tangensu může být až o polovinu rychlejší. Dále také netrpí problémem saturace funkce jako sigmoida nebo

tanges¹⁰, u kterých probíhá rozlišení pouze v úzké oblasti okolo 0,5 a větší vstupy či velice malé vstupy spadnou do oblastí 0 nebo 1. Díky tomu je docíleno také menšího množství excitovaných neuronů najednou, což může být žádaná vlastnost pro některé funkce, připomínající trochu lidský mozek, kde také ne všechny neurony vystřelují informace najednou. Díky tomu mají ReLU menší tendenci k *overfittingu* a lepší výsledky pro predikci.

Nevýhoda ReLU vychází, jak je možné vidět z grafu, z toho, že pro veškeré záporné vstupy je výstupní hodnota rovna 0. Tento problém bývá někdy nazýván jako *dying ReLU* neboli „umírající“ ReLU. Jelikož i strmost funkce v záporné části spektra je také rovná nula, je časté, že jakmile jednou neuron dosáhne záporné hodnoty, nemusí se již být schopen vrátit zpět. V důsledku tohoto problému, je možné při praktických aplikacích skončit s neuronovou sítí v níž bude spousta „mrtvých“ neuronů. Často se to stává pokud je příliš vysoký *learnign rate* nebo velký záporný *bias*.

Tyto problémy lze většinou zmenšit použitím jiného learning rate nebo bias, případně využitím existujících variant původního ReLU¹¹[11, 19, 20].

4.2 ELM – Extreme learning machine

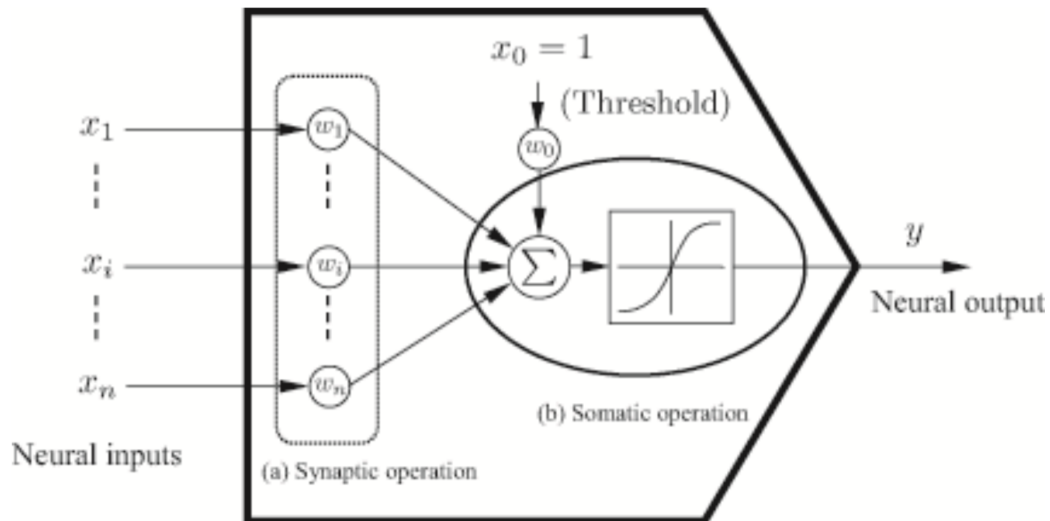
Jedná se o variaci na MLP. Stojí na bázi SLFN (*Single layer feedforward network*), kdy neuronová síť obsahuje pouze jednu skrytou vrstvu, avšak o **extrémním** množství neuronů. Využívá navíc učící algoritmus nazvaný **ELM**. Hlavním rozdílem, že při dávkování dat do neuronové sítě probíhá pouze prvotní náhodné zvolení synaptických vah skryté vrstvy a bias vstupu, pokud je aktivační funkce σ nekonečně diferencovatelná (sigmoida, sinus, exponenciála, atd.). Výhodou je až tisíckrát menší výpočetní náročnost aplikace této sítě. Tato síť je schopna menší chyby na tréninkových datech a také lepší generalizace oproti běžným učícím algoritmům jako *back propagation*. Následně proběhne výpočet uvnitř skryté vrstvy a za pomoci výstupních vah jsou výsledky předány do výstupní vrstvy, kde může být již standardní lineární aktivační funkce[21, 22].

10 Problém „mizejícího“ gradientu (Vanishing gradient)

11 Leaky ReLU nebo Exponential LU

4.3 HONU – Higher Order Neural Unit

HONU jsou nelineárním modelem neuronové sítě a jsou v přímé analogii k Taylorovu rozvoji. U HONU je možné měnit řád polynomu a proto lze nastavovat kvalitu nelineární aproximace. Ovšem s rostoucím stupněm polynomu stoupá i časová a výpočetní náročnost na hardware. Běžnými prostředky jsme dnes schopni umožnit strojové učení až do 3. stupně polynomu. Jednotlivé typy HONU se můžou lišit svou vnitřní agregační funkcí (Σ). Pro LNU se jedná o běžnou lineární funkci avšak u HONU vyšších řádů jde o funkci nelineární[23].



Obr. 4.3: Schéma HONU modelu neuronu[4]

Na Obr. 4.3 vidíme schéma HONU neuronu. Jako u ostatních modelů i zde máme vektor vstupů $\vec{x} = [x_1 \dots x_n]^T$ a vektor synaptických vah $\mathbf{W} = [w_1 \dots w_n]^T$. Vnitřní agregační funkce poté obecně vypadá takto[23]:

$$y = \sum_{i=0}^n \sum_{j=i}^n \dots \sum_{\dots}^n (x_i x_j \dots x_{\dots}) * w_{i,j,\dots} \quad (4.4)$$

kde bias $x_0 = 1$,

n odpovídá množství vstupů do neuronů x_i .

Tuto rovnici následně upravíme do tvaru pro zvolený řád polynomu. Pro typ LNU, QNU, CNU, jež jsou v této práci použity vypadají upravené rovnice následovně.

Pro **LNU** (Linear Neural Unit), jak již bylo zmíněno je rovnice lineární:

$$y = \sum_{i=0}^n x_i w_i \quad (4.5)$$

Pro **QNU** (*Quadratic Neural Unit*) je již funkce nelineární a rovna:

$$\sum_{i=0}^n \sum_{j=i}^n x_i x_j w_{ij} \quad (4.6)$$

Pro **CNU** (*Cubic Neural Unit*) je funkce také nelineární a odpovídá:

$$\sum_{i=0}^n \sum_{j=i}^n \sum_{k=j}^n x_i x_j x_k w_{ijk} \quad (4.7)$$

4.3.1 Optimalizace HONU

Kombinací vyššího řádu vstupů a vah, jsme schopni dosahovat efektivních výsledků z hlediska výstupu z neuronu, což bylo potvrzeno při aplikacích od adaptivního řízení po klasifikační problémy. Ovšem jednou z překážek, která se objevila v minulých výzkumech byl problém z nárůstem parametrů nutných pro učení. Optimalizace této problematiky byla tématem některých prací[4]. Cílem bylo zjednodušení výpočtů se zachování účinnosti modelu.

Jako příkladem naznačíme zjednodušení QNU. Základem je zápis původní funkce v maticovém tvaru s vektorem x jako vektorem vstupů a rozšířenou maticí W synaptických vah.

$$\sum_{i=0}^n \sum_{j=i}^n x_i x_j w_{ij} = [(x_0 = 1) \ x_1 \ \cdots \ x_n] * \begin{bmatrix} w_{0,0} & w_{0,1} & \cdots & w_{0,n} \\ 0 & w_{1,1} & \cdots & w_{1,n} \\ \vdots & \ddots & \ddots & \vdots \\ 0 & \cdots & 0 & w_{n,n} \end{bmatrix} * \begin{bmatrix} x_0 \\ x_1 \\ \vdots \\ x_n \end{bmatrix} \quad (4.8)$$

Vzhledem k tomu, že rozšířená matice vah i vektor vstupů mají stejný rozměr, je pro naše výpočty dostačující využít pouze horní trojúhelníkovou matici, čímž vyloučíme nulové prvky. Pro další zjednodušení výpočtů odstraníme nutnost tvorby sumací součinů prvků matice a vektoru, jejich převedením do podoby tzv. *dlouhých vektorů*.

$$y = \text{row}X \cdot \text{col}W = [x_0 \ x_1 \ \dots \ x_j x_j \ \dots \ x_n x_n] \cdot [w_{0,0} \ w_{0,1} \ \dots \ w_{i,j} \ \dots \ w_{n,n}]^T \quad (4.9)$$

kde délka **rowX** a **colW**, vyplývá vnitřní agregační funkce a liší se pro jednotlivé stupně polynomu[4, 24]. Pomocí této optimalizace dosahují HONU dobrých výsledků a byly třeba využity k výzkumu pro hledání plicního nádoru[24].

4.4 LSTM – Long Short Term Memory

Oproti předešlým modelům spadá LSTM do skupiny *rekurentních* neuronových modelů někdy zkracováno jako RNN (*Recurrent Neural Network*). Rozdíl oproti předchozím modelům, které jsou dopředné je ten, že rekurentní modely na začátku v $t = 1$ neberou ve výpočtech v potaz pouze hodnotu vstupů, vah a biasu, ale také předchozí hodnoty získané ve vrstvách v $t - 1$. Jinými slovy akce rekurentní sítě mají dva druhy vstupů: *aktuální hodnoty vstupů* a *minulé vstupy neboli paměť*. Tato paměť je součástí sítě ve formě skryté vrstvy, která je částečně oddělená.

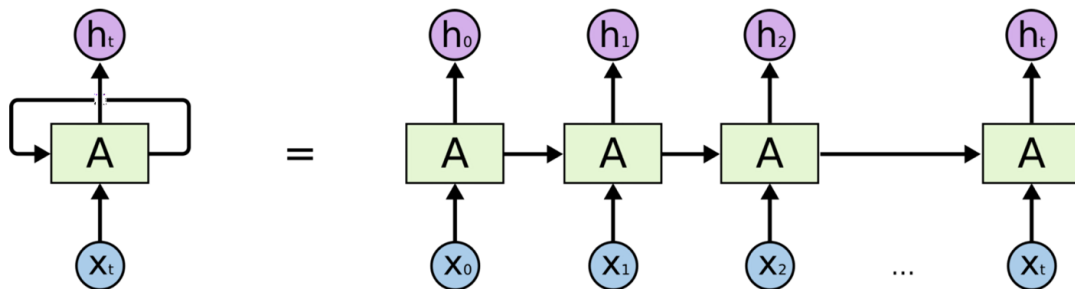
$$y_t = \sigma(Wx_t + Uy_{t-1}) \quad (4.10)$$

kde W je matice vah vstupů jako u dopředné sítě

U je přechodná matice pro zakomponování předchozích stavů y_{t-1}

Vnitřní funkci σ může být standardní sigmoida nebo tangenta. Avšak musí splňovat úplnou diferencovatelnost.

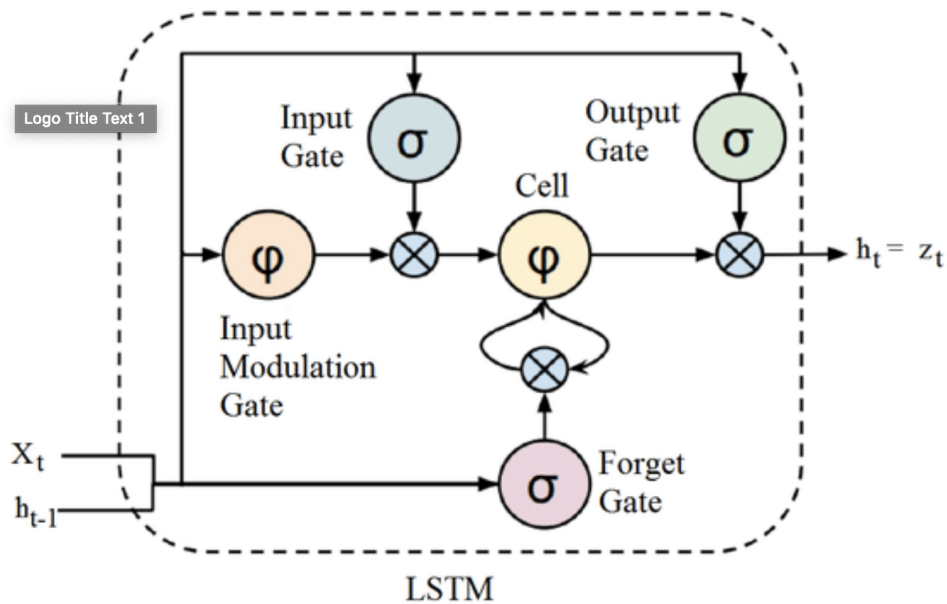
Tyto modely jsou hojně využívány pro predikci a učení na sekvenční datech jako třeba text či video, také překlad textu. Nejedná se pouze o body jako třeba v časových řadách, kdy nám jde pouze o zjištění další hodnoty, ale zde bereme v potaz celou datovou řadu jako celek. Nejčastěji při využití učícího algoritmu *backpropagation*. A stejně jako ostatní modely využívající *backpropagation* i u tohoto se postupně objevil problém mizejícího či explodujícího gradientu. LSTM byly navrženy jako částečné řešení tohoto problému. LSTM byly navrženy tak, aby dokázaly zachovat chybu vznikající při výpočtech a poslat ji dál. Tím pádem se vzniklá chyba v průběhu času nenásobí a nevzniká již zmíněný problém běžných RNN[5, 25]. Na Obr. 4.4 lze vidět jak funguje celý princip RNN. Předchozí stav je vždy předáván dále do sítě.



Obr 4.4: Design RNN [32]

4.4.1 Struktura LSTM

Aby bylo docíleno funkčních vlastností LSTM, je tento model tvořen specifickou strukturou. Využívá takzvaných *paměťových buněk*. Každá z těchto buněk má specifickou vnitřní strukturu. Tato struktura je nejčastěji tvořena 3 regulátory v literatuře nazývány *gate* neboli „brány“. Tyto jsou: vstupní, výstupní a brána „zapomenutí“. Tyto brány se chovají jako klasické uzly v neuronové síti a blokují nebo posílají dál vstupy, které do nich vstoupí na základě určených podmínek.



Obr 4.5: Struktura paměťové buňky LSTM[32]

Na Obr. 4.5 vidíme strukturu paměťové buňky LSTM. Na tomto obrázku je navíc ještě součástí struktury brána pro modulaci vstupů. Jedná se o jednu z variací

LSTM. Nejběžnější variantou je však s 3 branami. Každá z bran obsahuje vlastní aktivační funkci[26]. Stav paměťové buňky z Obr. 4.5 je poté určen jako:

$$c_t = f_t \circ c_{t-1} + i_t \circ g_t \quad (4.11)$$

kde c_t je stav paměťové buňky v čase t (resp. $t-1$)

f_t určuje stav brány zapomenutí neboli *forget gate*

i_t je vstupní brána a g_t je brána modulace vstupů

Výstupem skrytého stavu v neuronové síti je poté:

$$h_t = o_t \circ \tanh(c_t) \quad (4.12)$$

Kde h_t představuje skrytý stav a o_t je výstupní brána. Každá z těchto bran má jedinečnou funkci v paměťové buňce LSTM. **Vstupní** brána *input gate*, v této bráně se rozhoduje zda vstup (informace) smí vstoupit do paměťové buňky. Její aktivační funkce je povětšinou sigmoida s rozsahem [0,1].

$$i_t = \sigma(W_i[h_{t-1}, x_t] + b_i) \quad (4.13)$$

Jak již bylo zmíněno, vstupní brána bývá někdy rozšířena o tzv. **modulaci** vstupů *Modulation input gate*. Ta umožňuje klasické vstupní bráně to, že využitím tangenciální aktivační funkce o rozsahu [-1, 1], je vstupní bráně umožněno „zapomenout“ předchozí stav paměťové buňky.

$$g_t = \tanh(W_c[h_{t-1}, x_t] + b_c) \quad (4.14)$$

Výstupní brána *output gate* je někdy také nazývána „ohniskovým“ vektorem. Rozhoduje o tom, které informace budou zachovány a použity v dalším skrytém stavu buňky.

$$o_t = \sigma(W_o[h_{t-1}, x_t] + b_o) \quad (4.15)$$

Brána pro zapomenutí *forget gate*, pak už jak z názvu vypovídá rozhoduje, které informace z předchozího stavu v čase $t-1$ budou zapomenuty.

$$f_t = \sigma(W_f[h_{t-1}, x_f] + b_f) \quad (4.16)$$

Spolupráce těchto bran v paměťové buňce LSTM a jejich konstrukce jsou tím rozdílem, kvůli kterému bývají upřednostňovány při tvorbě RNN.

5 Učící algoritmy

Základním kamenem všech neuronových sítí, je také jejich schopnost naučit se podle vstupů na výstupy a najít závislosti v trénovacích datech.

5.1 Backpropagation

Algoritmy využívající Backpropagation, znamenali revoluci ve využívání a tvorbě neuronových sítí. Do té doby mnohé problémy, které se zdáli neřešitelné pomocí pouze dopředných sítí a bez korekce chyb, nebylo možno vyřešit. Zpětné šíření chyby neboli *backpropagation* předurčilo další rozvoj NN. Hlavní podstatou BP je, že na výstupní vrstvě neuronové sítě sledujeme chybu (odchylku) e vypočtené hodnoty y a reálné (naměřené hodnoty) y_r .

$$e = y_r - y \quad (5.1)$$

Podle toho se následně přizpůsobují váhy v nižších vrstvách a také bias. BP využívá různých optimalizací ať už se jedná o gradientního spádu nebo třeba metody nejmenších čtverců jako Levenberg – Marquardt[11, 16]. Celým systémem učení spočívá v optimalizace chybové funkce (angl. *cost function* nebo také *loss function*):

$$E = C(y_r - y)^2 \quad (5.2)$$

$$E = \frac{1}{2n} \sum_x \|y_r(x) - y(x)\|^2 \quad (5.3)$$

Ta je závislá na vstupním vektoru dat $[x_0 \dots x_n]$, synaptických vahách $[w_0, \dots, w_n]$ a reálných datech. Pokud vezmeme vstupní data a reálná data jako stálá tak to co nám mění vypočtené hodnoty ze sítě jsou synaptické váhy a bias. Optimalizace chybové funkce tedy spočívá v hledání takového ustanovení synaptických vah, aby její výsledek byl co nejmenší. Tedy aby se funkce nacházela ve svém **globálním minimu**. Pro tento účel využijeme gradient chybové funkce.

$$\nabla E = \frac{\partial E}{\partial w} \quad (5.4)$$

Na základě gradientu hledáme ono minimum a v každém kroku přizpůsobujeme synaptické váhy[12]. Úpravu vah můžeme popsat pro každý časový okamžik.

$$\Delta w = -\frac{1}{2}\mu \frac{\partial e^2}{\partial w} \quad (5.5)$$

A jak již bylo zmíněno v 3.2.1 co se týče adaptivních změn:

$$w = w + \Delta w \quad (5.6)$$

C je poté zvolená konstanta, která se obvykle volí $\frac{1}{2}$ pro usnadnění výpočtů[9, 15].

5.2 Gradient Descent

GD je často využívaný algoritmus pro optimalizaci neuronových sítí. Bývá součástí i ostatních pokročilejších optimalizačních algoritmů včetně BP. Funkční popis adaptace vah v konkrétním čase zapíšeme:

$$w_i(t+1) = w_i(t) - \mu \frac{\partial E}{\partial w_i} \quad (5.7)$$

Následně dosadíme chybovou funkci:

$$w_i(t+1) = w_i(t) - \mu \frac{1}{2} \frac{\partial e^2}{\partial w_i} \quad (5.8)$$

nebo:

$$w_i(t+1) = w_i(t) - \nabla C(\vec{w}_i) \quad (5.9)$$

Jako základní algoritmus pro optimalizaci je GD dostačující, avšak trpí některými nedostatky, které poté vynahrazují vylepšené metody optimalizace. Jednou z nevýhod je již jednou zmíněné ustálení v lokálním minimu místo globálního minima. Tato problematika je ovlivněna i zvolenou rychlostí učení *learning rate* μ . Při správně zvolené rychlosti učení, můžeme dosáhnout lepšího výsledku.

5.3 Levenberg – Marquardt

Optimalizace pomocí algoritmu LM byl souběžně objeven svými vynálezci Levenbergem a Marquardtem. Princip spočívá v postupném (iteračním) hledání globálního minima chybové funkce za pomoci standardní metody nejmenší čtverců a svými parametry tedy spadá do oblasti mezi metody Gauss – Newtona a GD. Jedná se o robustnější metodu oproti Gauss-Newtonovi, díky čemuž je schopen najít optimální řešení i pokud začíná z počátku iterovat mnohem dál[9, 27].

Původním cílem LM bylo dosažení druhého trénovací rychlosti druhého řádu bez toho, abychom byli nuceni počítat Hessovu matici¹². Místo toho je její velikost aproximována jako:

$$\mathbf{H} = \mathbf{J}^T \mathbf{J} \quad (5.10)$$

Poté můžeme hledání minima považovat za sumu kvadrátu chyb:

$$E = \frac{1}{2} \sum_{k=0}^N e^2(t) \quad (5.11)$$

Gradient chybové funkce je pak definován jako:

$$g = \mathbf{J}^T e, \quad (5.12)$$

kde e je vektor chyb sítě a \mathbf{J} je matice jakobiánů první derivace chyby vůči synaptickým vahám a biasu. Následně poté LM aproximuje Hessovu matici,

$$w = w - [\mathbf{J}^T \mathbf{J} + \mu \mathbf{I}]^{-1} \mathbf{J}^T e, \quad (5.13)$$

kde \mathbf{I} je jednotková matice a μ je rychlost učení. Podle nastavení rychlosti učení se poté LM chová více jako Gauss-Newton nebo GD.

6 Měření teploty v řezu

Pro tvorbu algoritmu byla využita data získaná při experimentálním měření vývoje teploty při běhu turbomotoru. Kvůli zpřesnění údajů je pro získávání našich dat

¹² Matice druhých partiálních derivací funkce

využito větší množství čidel než je běžné v klasické produkční výrobě. Jedná se tedy spíše o měření během výzkumné a vývojové fáze u turbomotoru.

6.1 Termočlánky

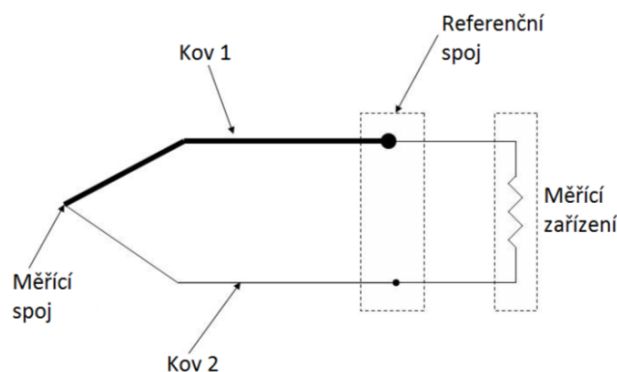
Princip fungování termoelektrických článků (termočlánků) je založen na Seebeckově jevu. V zásadě mají nosiče náboje v teplejší části vodiče větší energii a přesouvají se tedy do chladnějších částí vodiče. Obráceně nosiče z chladnější části se přesouvají do oblasti teplejší, avšak v menším počtu. Proto v průběhu dochází ke vzniku převahy nosičů s kladným nebo záporným[28]. Závislost teploty na termoelektrickém napětí termočlánku lze vyjádřit rovnicí

$$E = \sum x_t t' \quad (\mu V) \quad (6.1)$$

Z napětí následně určíme teplotu pomocí rovnice [29]

$$t = \sum y_j E' \quad (C) \quad (6.2)$$

Konstrukčně jsou termočlánky tvořeny vždy dvěma vodiči (viz. Obr. 6.1), jež volíme tak abychom zajistili postačující nelineární závislost termoelektrického napětí na teplotě a zároveň zajistili odolnost vůči vnějším vlivům chemický či mechanickým. V průmyslu se nejčastěji využívá kombinace železo – měďnikl (FE-CuNi) nebo kombinace s niklem (NiCr-Ni). Avšak pro aplikace s vysokými teplotami se používají články ze vzácných kovů jako platina rhodium – platina (PtRh10-Pt). Podle složení rozdělujeme termočlánky na různé typy.

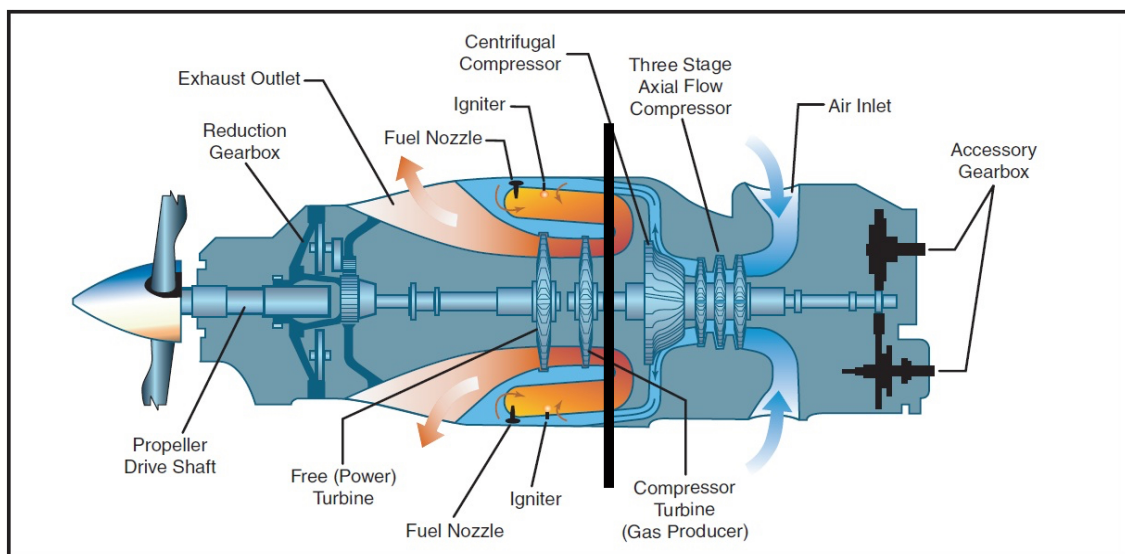


Obr 6.1: Schéma termočlánku [28]

Pro měření teplot v turbomotorech a podobných aplikacích se využívá **typ K** se složením NiCr – NiAl s rozsahem měřitelných teplot pro dlouhodobé měření 0°C až 1100°C pro dlouhodobé měření, nebo **typ R** se složením PtRh13-Pt s rozsahem 0°C až 1600°C a odolný proti oxidaci a korozi.

6.2 Zapojení termočlánků

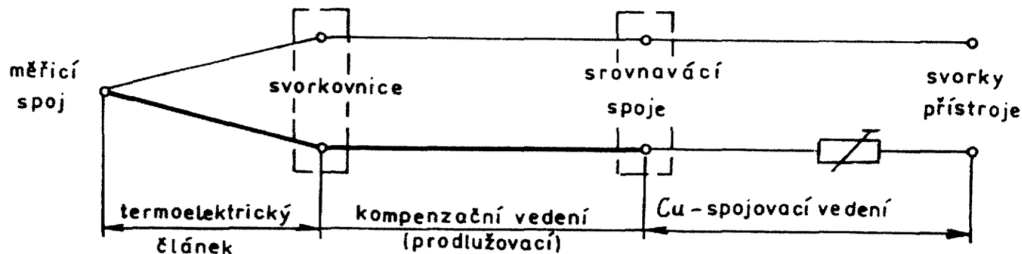
Měření probíhá na turbomotoru od okamžiku zapnutí po předem určenou dobu. Pro co nejpřesnější data je na motoru umístěno vícero termočlánků na různém průměru a obvodovém úhlu (viz. Obr.7.2). Na Obr. 6.2 lze vidět schéma turbomotoru od firmy Pratt & Whitney model Pt6, funkcionálně je toto schéma dostatečně podobné pro představu umístění měřících článků na námi zkoumané jednotce. Na obrázku je přibližné místo řezu označeno černou čarou.



Obr 6.2: Schéma turbomotoru PT6 [33]

V tomto řezu jsou rozmístěny speciální nástavce, které jsou osazeny jednotlivými termočlánky. Z těch jsou následně získávána data. Na Obr. 7.1 vidíme schématicky zapojení jednoho termočlánku i s názvoslovím. Takto jsou následně zapojeny všechny termočlánky na nástavcích tvořící **hřebenovou sondu**. Jak již bylo zmíněno výše tento způsob je využívám nejvíce ve vývoji. V klasickém produkčním testování je většinou využito pouze pár termočlánků osazených po obvodu celého

motoru. V této práci se zabýváme jedním konkrétním řezem avšak během testů je takto umístěných hřebenových sond samozřejmě více na mnoha řezech.



Obr 7.1: Schéma zapojení termočlánků[29]

7 Algoritmus pro rekonstrukci teplotních polí v turbomotoru

Jak již bylo napsáno v úvodu, cílem této práce je nalezení algoritmu, který by dokázal rekonstruovat teplotní pole v řezu turbomotoru za poskytnutí co nejmenšího množství dat. V následující kapitole budou popsány jak testovaná data, tak jednotlivé neuronové modely použité pro predikci a následně jejich srovnání.

7.1 Datové vzorky

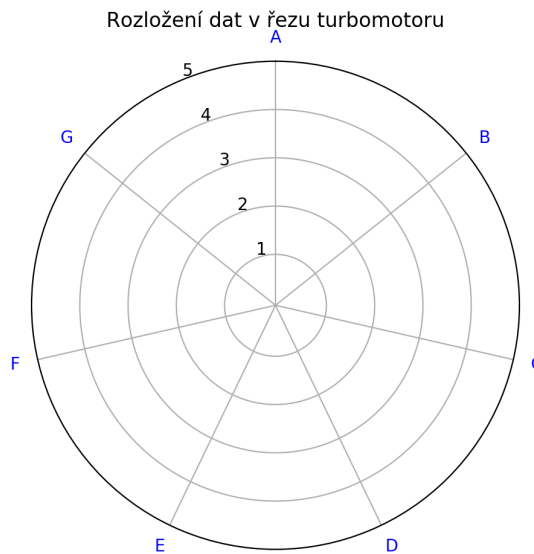
Algoritmu budou poskytnuty dva druhy dat – reálná a umělá. Cílem je nejprve algoritmus naučit a poté demonstrovat jeho funkci a úspěšnost na umělých datech, která vytvoříme.

7.1.1 Reálná data

Reálná data byla získaná, za pomoci metod popsaných v kapitole 6. Jedná se o anonymizovaná data z řezu turbomotoru přibližně v oblasti, kde dochází k průchodu vzduchu o největší teplotě za kompresorovou turbínou. Data byla odečítána od rozběhu do ustáleného běhu motoru a se stejnou frekvencí odečtů.

Jedná se tedy o data *ekvidistantní deterministické* časové řady, kdy hodnoty teploty T byly odečítány vždy po $\Delta t = 0.01s$. Časová řada obsahuje celkem **44 404** vzorků tedy od $t = 0.00$ až $t = 440.04$.

Data použitá v práci jsou již normalizovaná, což bude popsáno v následujících kapitolách a značení bylo zvoleno, aby nepřipomínalo žádný z existujících turbomotorů. Na Obr. 7.2 vidíme rozložení dat v řezu. Vidíme také značení, které bude použito po zbytek této práce. Po obvodu je rozmístěno 7 hřebenových sond – A, B, C, D, E, F, G. Každá z nich má čidlo na průměru 1 až 5. .



Obr. 7.2: Schématický náznak rozložení dat z řezu turbomotoru

7.1.2 Umělá data

Umělá data slouží jako datový vzorek, který využíváme k ověření funkčnosti a aplikovatelnosti naučené neuronové sítě pro náš problém. Byla vytvořena tak, aby napodobila data reálná svým rozložením a hodnotami. Pro jejich vytvoření bylo využito původních dat Y_{real} , ta byla následně proložena funkcí sinus a prodloužena do požadovaného rozměr.

Pro další testování upravíme umělá data tak, abych záměrně zvětšily šum ve vzorku a tím dále otestovali robustnost řešení.

Využijeme tedy 3 různé datové vzorky:

- Umělá lineární data

$$y_u = 2 * x + 12 \quad (7.1)$$

kde x je číslo náhodně zvoleno v intervalu (0,1)

- Umělá data s minimem šumu

$$y_{u+1} = 4 * \sin(y_u) + 5 \quad (7.2)$$

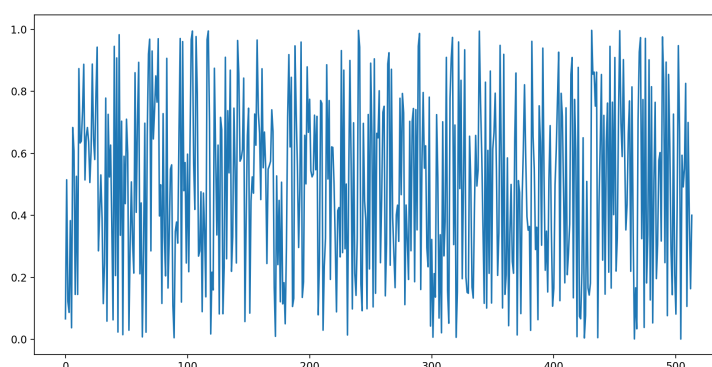
- Umělá data s větším množstvím šumu

$$y_{u+1} = 4 * \sin(y_u) + 5 + x_{rand} \quad (7.3)$$

kde x_{rand} je náhodně zvolené číslo z intervalu (0,1)

7.1.3 Náhodná data

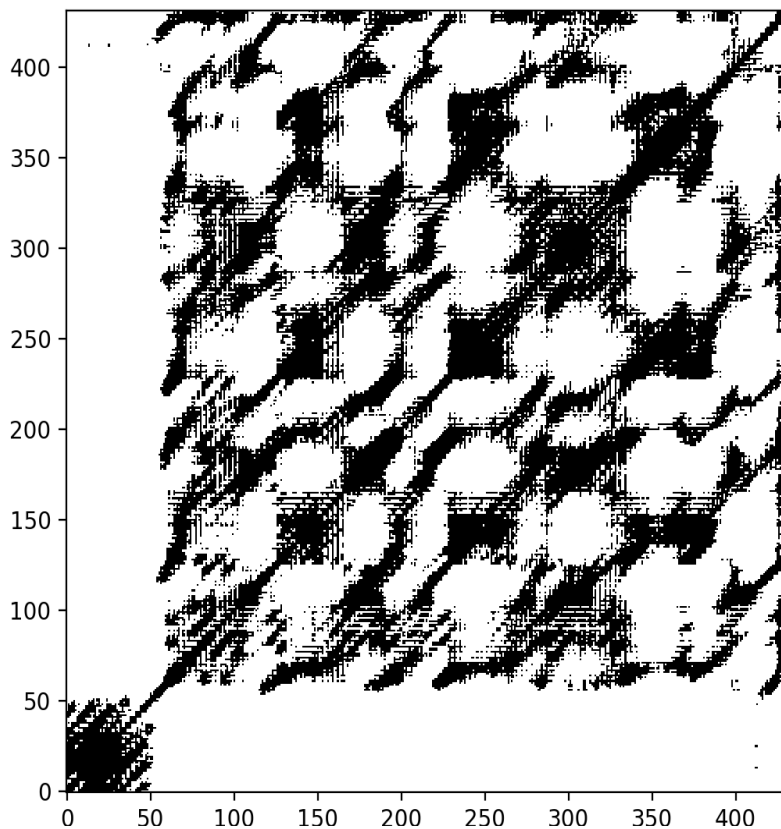
Náhodná data byla vytvořena za pomoci funkce, která vytváří náhodný datový vzorek ze zvoleného rozsahu. Využití tohoto vzorku je pouze pro ověření, že neuronová síť se neučí pouze na vstupní data¹³. Pokud bude tvorba NN úspěšná, měla by být schopnost predikce na této NN mizivá.



Obr 7.3: Zobrazení náhodně vygenerovaného datového vzorku

13 „overfitting“

7.2 Analýza reálných dat



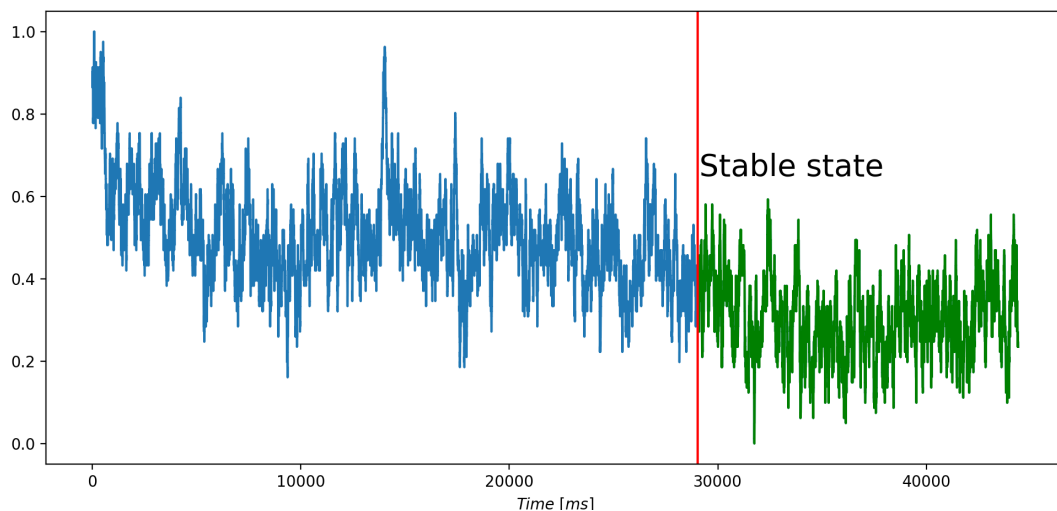
Obr 7.4: Rekurentní zobrazení jedné z měřených teplot. Tmavější místa vyznačují podobnost mezi hodnotami v daném čase.

Aby mohl algoritmus náležitě pracovat, je nutné nejprve analyzovat vstupní data. Jak již bylo zmíněno výše získaný datový vzorek obsahuje naměřené hodnoty od chvíle rozběhu motoru až po jeho ustálení. Abychom předešli komplikovanému učení algoritmu na neustálený stav, jenž by vnášel značné chyby do celého systému, bylo nutné zvolit od jakého časového úseku budeme data považovat za ustálená a tedy vhodná k využití pro náš algoritmus.

Pro grafické znázornění je na Obr.7.4 vidět vytvořený rekurentní graf jedné měřených hodnot. Tmavší místa na grafu znázorňují podobnost hodnot v čase. Z grafu je možné vyčíst, že největší podobnost hodnot je v oblasti levého horního kvadrantu, což odpovídá hodnotám přibližně poslední třetiny časové řady viz. Obr.7.5. Pro učení

našeho modelu a následné testování bude využito hodnot od $t = 293.07s$. Tato volba byla následně konzultována s odborníkem¹⁴ přes turbomotory a schválena.

Za pozornost stojí zmínit, že i pohled na určenou množinu dat v graf naznačuje, že data jsou kolísavá, a tedy je možné předpokládat sníženou přesnost výsledku našeho modelu.



Obr 7.5: Názorné zobrazení rozdělení dat na neustálý (modrá) a ustálený stav (zelená).

7.3 Příprava dat – Data Preprocessing

V kapitole 2.3 již bylo naznačeno, že před tvorbou a učením NN je nutné alespoň minimálně připravit data pro jejich využití[30]. Většinou se jedná o metody, které zmenšují rozměr vstupních dat (*PCA*) případně je škálují (*standardizace dat*), abychom obdrželi bezrozměrné veličiny. Pokud nám v datovém vzorku některá data chybí můžeme je doplnit případně odstranit tzv. *outliers* neboli vzorky, které svou hodnotou vysoce vybočují z ostatních. Správná volba metod a příprava dat nám může leckdy velice usnadnit následnou implementaci NN. V následující podkapitole jsou popsány metody přípravy dat, které byli využity na nám poskytnutá data.

7.3.1 Z-Scoring

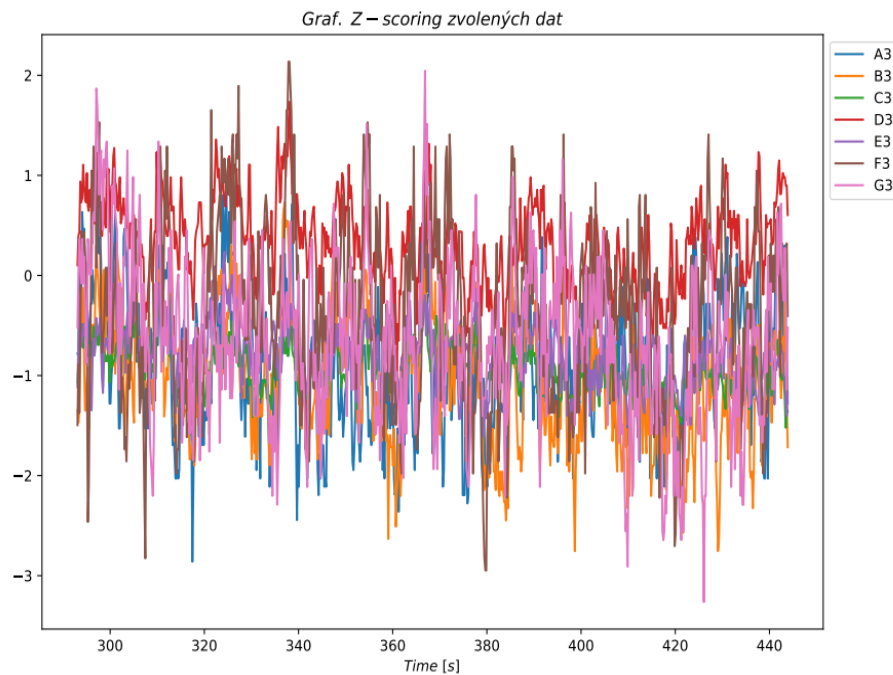
Původně naměřené hodnoty jsou přetransformovány, do takové podoby aby výsledné rozložení bylo o průměru 0 a standardizované odchylce 1. Výsledkem je

¹⁴ Ing. Michal Čížek

zjištění o kolik standardních odchylek, jsou jednotlivé data posunuty oproti průměru. Předpokladem pro tohoto postupu je normální rozdělení původních hodnot. Výpočet z-score hodnot vypadá takto:

$$z = \frac{x - \mu}{\sigma}, \quad (7.4)$$

kde x je datový bod, μ je průměr hodnot a σ je směrodatná odchylka. Pokud vychází hodnota z větší než 0, tak se jedná o vzorek nad průměrem a opačně pokud menší než 0 tak pod průměrem ostatních hodnot. Pokud by hodnota výrazně přesáhla ± 3 , jedná se o hodnotu, které by se mělo více věnovat ať už úpravou nebo odstraněním, jakožto outlieru.

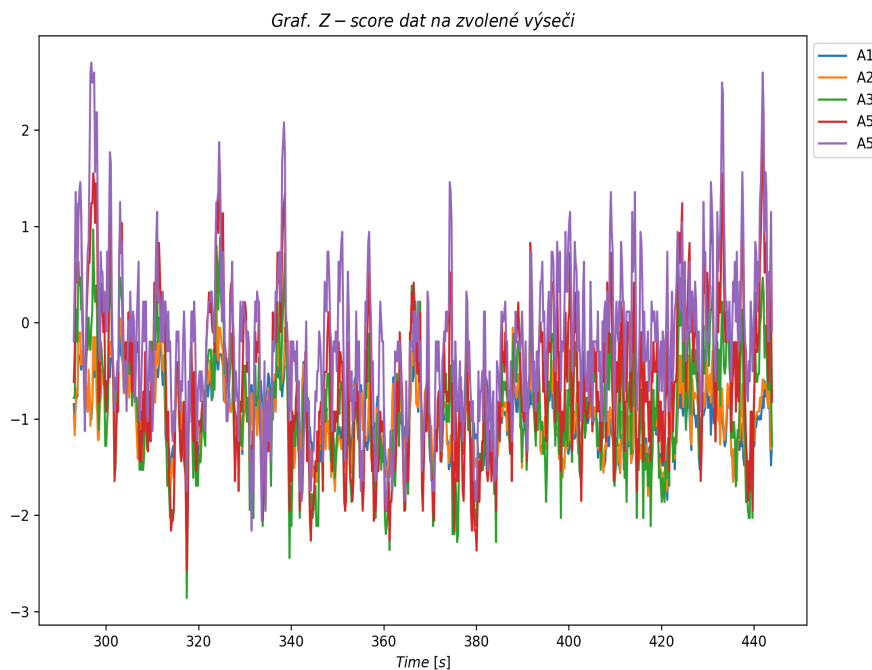


Obr. 7.6: Z-Score dat na zvoleném průměru (C) vzorkování 20

Na Obr. 7.6 vidíme data z již zmíněného středního průměru, na která byla aplikována metoda Z-Score. Pro lepší zobrazení bylo využito zobrazení po 20 datech. Lze si již na tomto grafu povšimnout, že u středního průměru data v průběhu času značně kolísají, ale mezi většinou ze 7 úhlů lze vidět podobný průběh a tedy i pravděpodobně společnou závislost.

Obr. 7.7 znázorňuje upravená data pouze na jedné výseči (A). Na tomto grafu je patrné, jak teploty na jedné výseči na různých průměrech kopírují podobný trend. Již od pohledu tedy můžeme usuzovat, že z jedné teploty bychom měli být schopni dopočítat ostatní.

Z obou grafů je patrné, že během sledované periody teplota kolísá a tudíž není mnoho hodnot, které by leželi blízko u průměru.



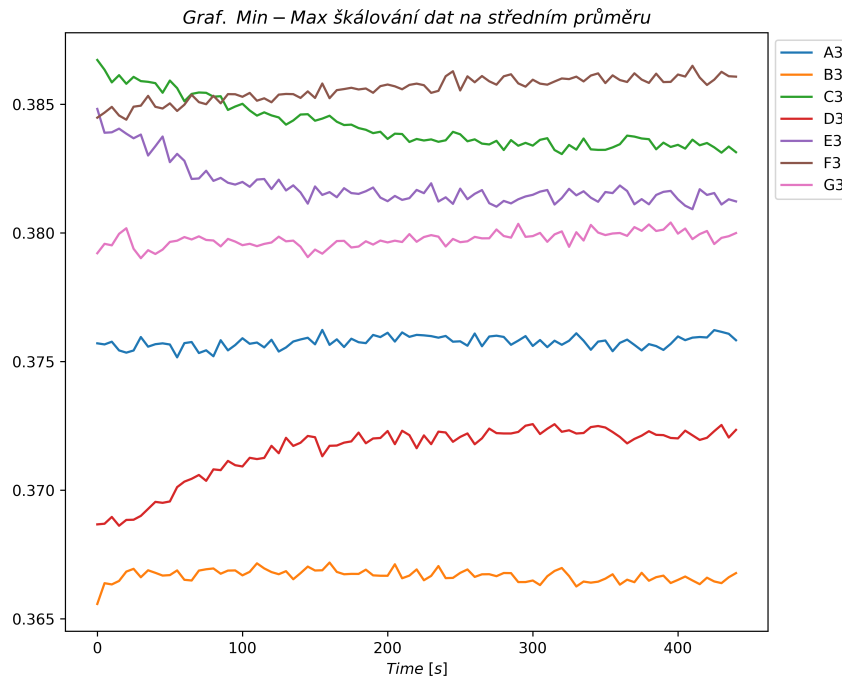
Obr. 7.7: Z-Score dat na jedné výseči (A) vzorkování 20

7.3.2 Normalizace dat

Metoda sloužící k přeškálování dat. S cílem aby data byla rozmístěna v intervalu $[0,1]$ případně $[-1,1]$ v závislosti na naší potřebě. Motivací pro tento proces je pro případy klasifikaci, či jiných aplikací, kde nás zajímá spíše vzdálenost mezi jednotlivými body než jejich vlastní hodnota. Existuje více druhů normalizace: Min-Max škálování, škálování na jednotkový vektor, normalizace podle průměru. Rovnice 7.5 popisuje normalizaci za využití Min-Max.

$$x' = \frac{x - \min(x)}{\max(x) - \min(x)} \quad (7.5)$$

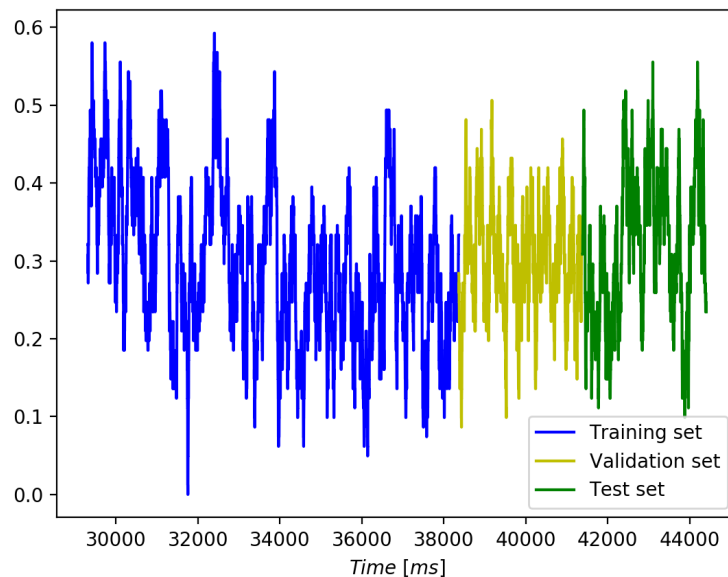
Na Obr. 7.8 vidíme graf upravených hodnot na středním průměru pomocí Min-Max škálování.



Obr. 7.8: Graf normalizovaných dat na středním průměru

7.3.3 Trénovací, testovací a validační sada dat

Po aplikaci normalizačních metod na data je dalším krokem jejich rozdělení do 3 sad. Jak jejich jednotlivé názvy napovídají slouží nám pro přípravu NN. Na **trénovací** sadě se NN naučí najít nejvhodnější nastavení vah a *biasu*, tak aby dosahovali požadovaných výsledků. Během trénování si model na **validační** sadě, která je částí sady trénovací, ověřuje vývoj chybové funkce a upravuje učící rychlost na základě úspěšnosti. Po fázi učení testujeme model na **testovací** sadě, abychom zjistili jak dobře se dokázal naučit predikovat naše data.



Obr 7.9: Rozdělení na trénovací validační a testovací sadu dat

V této práci, je jak už bylo zmíněno výše, využito přibližně poslední třetiny poskytnutých dat. Tato třetina je z 66% využita jako trénovací sada z čehož je 20% použito jako validační a zbytek je je sadou testovací. Znázornění rozdělení dat lze vidět na Obr. 7.9.

7.4 Python, Keras

7.4.1 Python

Veškeré vytvořené grafy i tvorba algoritmu probíhá v programovacím jazyku Python[6]. Jedná se o vysokoúrovňový skriptovací jazyk. Jedná se o *open-source* projekt vytvořený Guido van Rossem v roce 1991. Existují různé implementace postavené na základech různých jazyků. Mezi nejznámější patří implementace na základech jazyka C – CPython, na základě jazyka Java – Jython a jazyka C# - IronPython. V dnešní době existují paralelně dvě verze Pythonu – 2.x 3.x. V následujících letech (cca. 2020) bude ukončena podpora verze 2.x a bude existovat pouze verze 3.x. Algoritmus v této práci je vyvíjen ve verzi 3.7.1. Jedna z předních výhod jazyka Python je jeho velká veřejná databáze dostupných knihoven a modulů vytvářených skupinami či jednotlivými uživateli, usnadňující vývoj pro ostatní.

7.4.2 Keras

Keras je vysokoúrovňové API¹⁵ pro tvorbu neuronových sítí napsané v jazyce Python, které na pozadí využívá back-end z TensorFlow. Hlavní myšlenkou je urychlení vývoje při tvorbě neuronových modelů. To je dosaženo značným zjednodušením syntaxe pro tvorbu NN v Pythonu. Kde v originálním programování za pomoci TensorFlow je zapotřebí větších znalostí a pochopení matematických souvislostí, Keras umožňuje rychle vytvořit jednoduché NN modely, a následně je adaptovat do požadované podoby[31].

Keras umožňuje upravovat vytvořené modely na základě potřeby a dále využívat i ostatní externí knihovny. Hlavním problémem při tvorbě za pomoci Keras bylo v konečném důsledku pouze správná úprava dat před vložením do modelu, kdy bylo nutné dodržovat některé základní principy maticových výpočtů.

7.5 MLP

V následující podkapitole bude vytvořen optimální model NN za využití MLP pro aplikaci na získaná data. Bude zjištěno optimální nastavení parametrů pro učení NN a následné aplikování na datové sady.

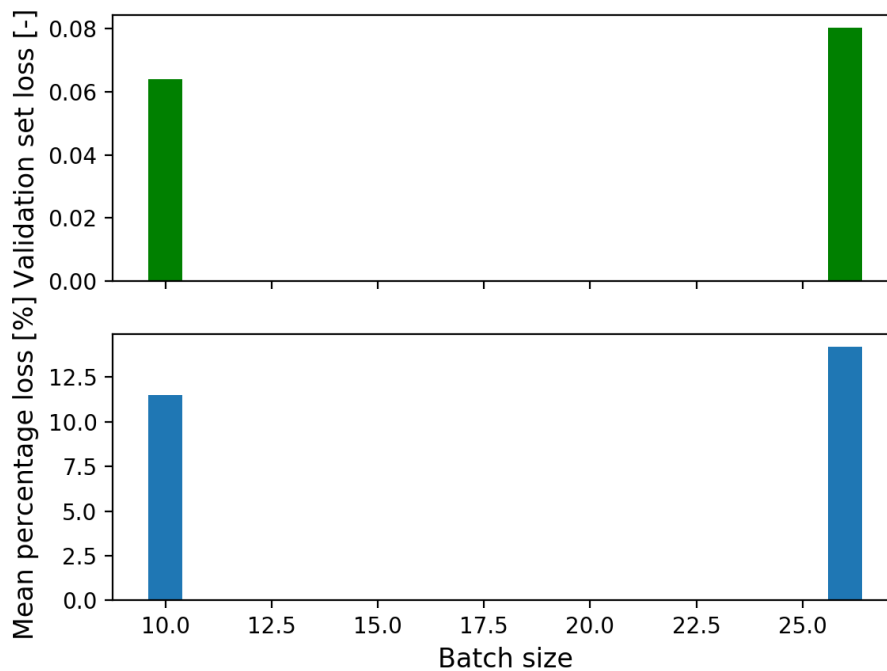
Pro tvorbu byla využita výše zmíněná knihovna Keras. neuronová síť takto vytvořená bude obsahovat 4 vrstvy – 1 vstupní, 2 skryté a 1 výstupní. Byly využity základní moduly knihovny Keras jako *Sequential* a *Dense*. Aby se zabránilo zbytečnému overfittingu byla při programování využito tzv. *Earlystopping*. Tato funkce sleduje vývoj chybové funkce na validační části dat a pokud po určitou dobu chybová funkce neklesá tak zastaví další průběh učení modelu. Dále takto jako optimalizační mechanismus bylo využito algoritmu *Adam*. Veškerý postup bude znázorněn pomocí grafů predikce jedné z teplot. Vyhodnocení bude probíhá pomocí MAE – *průměrná absolutní chyba* (čím menší, tím lepší) jejíž výpočet vypadá takto:

$$MAE = \frac{\sum_{i=1}^n |y_{pred} - y_{real}|}{n} \quad (7.6)$$

¹⁵ Application Programming Interface

7.5.1 Velikost dávky

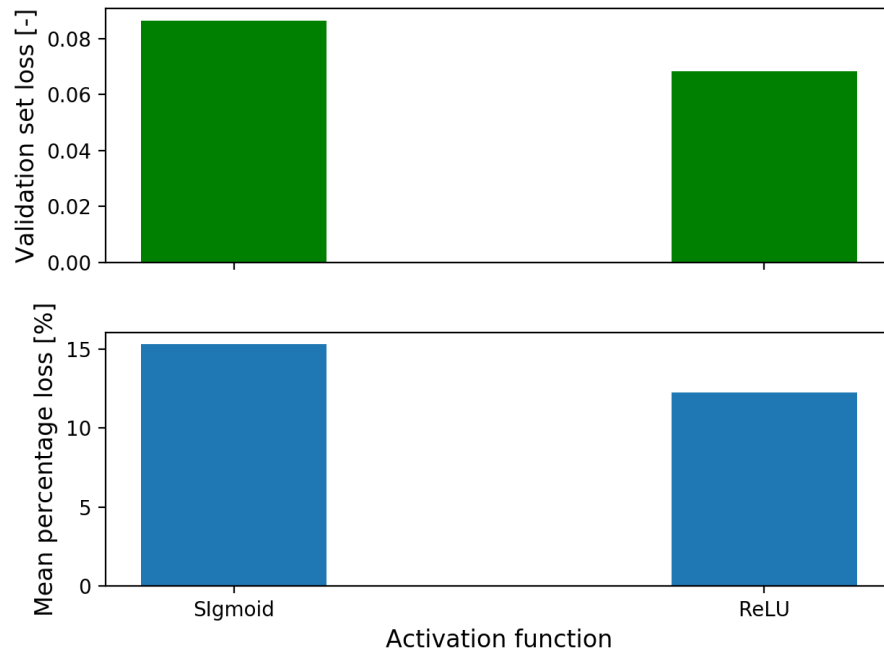
Změněním velikosti dávky umožňuje měnit podvzorek dat, na kterém se model snaží učit. Správně zvolená velikost dávky může výrazně ovlivnit výsledek predikce NN.



Obr 7.10: Porovnání velikosti dávky 10 a 26. Nižší hodnota je lepší

Z grafu na obr. 7.11 vidíme že dobrých výsledků dosahujeme při velikosti dávky do 10 a poté v bodě kdy je velikost dávky 26. Proto bude provedeno další porovnání pro tyto dvě hodnoty. Z obr. 7.10 vidíme, že nejlépe pro model MLP nám vychází velikost dávky 10. Tato bude tedy použita dále v této práci.

7.5.2 Typ aktivační funkce



Obr 7.12: Rozdíl v přesnosti mezi aktivačními funkcemi. Menší hodnota je lepší

Při tvorbě modelu se musíme rozhodnout o typu použité aktivační funkce. Bude se rozhodovat mezi *ReLU* a *Sigmoidou*. Rozdíly mezi těmito funkcemi byly popsány výše. Z grafu na Obr. 7.12 je znázorněn rozdíl přesnosti predikce mezi aktivačními funkcemi. Vychází nám z něj, že aktivační funkce *ReLU* dosahuje lepších výsledků. Pro další aplikaci tedy bude použita funkce **ReLU**

7.5.3 Shrnutí

Neuronový model použitý pro další aplikaci tedy vypadá následovně:

Table 1: Specifikace MLP modelu

Počet skrytých vrstev	Počet neuronů ve vrstvě	Aktivační funkce	Velikost dávky	Optimalizační algoritmus
2	32	ReLU	10	Adam

7.5.4 Otestování na umělých datech a náhodných datech

Poté co jsme zvolili ideální strukturu celého modelu, je nutné jej otestovat zda je model schopen najít závislosti na umělých datech a zároveň ověřit na náhodných datech, že se neučí pouze na poskytnutá data.

Table 2: Výsledky aplikace na umělé datové vzorky

Kritérium přesnosti	Náhodná data	Lineární data	Umělá data	Umělá data se šumem
MAE	99,84	0,001	0,03	0,08

Z tabulky 2 vyplývá, že vytvořený model je schopen úspěšně predikovat umělá data se známou závislostí a to i v případě vneseného šumu. Dále také nebyl schopen predikovat náhodná data, čímž je ověřena jeho funkčnost.

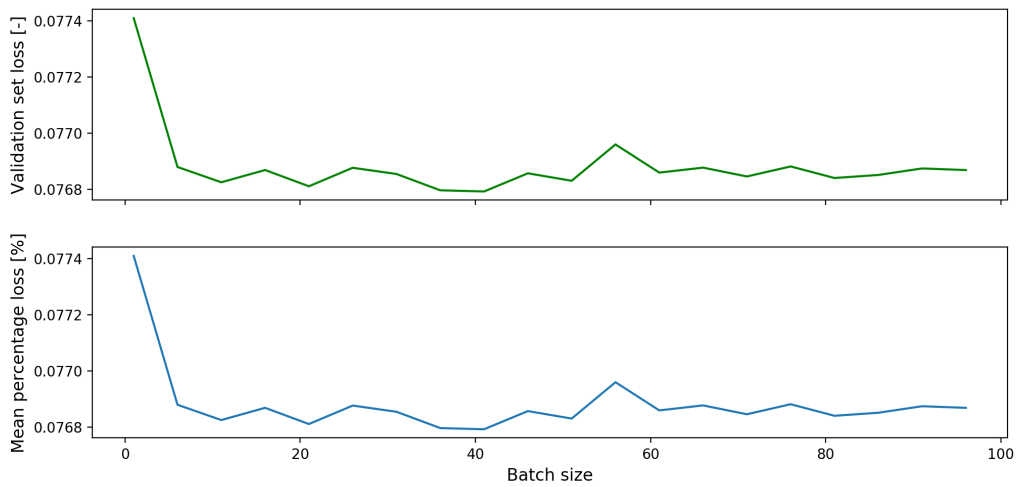
7.6 LSTM

V následující podkapitole bude vytvořen optimální model NN za využití LSTM pro aplikaci na získaná data. Bude zjištěno optimální nastavení parametrů pro učení NN a následné aplikování na datové sady.

Stejně jako u MLP je pro tvorbu tohoto modelu využito knihovny Keras. V této knihovně se nachází již předem připravená funkce přidávající do našeho modulu *Sequential* vrstvy neuronové sítě *LSTM*. V následujících odstavcích bude opět optimalizováno nastavení dávkování a aktivační funkce pro náš model. Opět to bude 4 vrstvý model – 1 vstupní vrstva, 2 skryté vrstvy LSTM a 1 výstupní vrstva. Stejně jako u MLP i zde bylo využito metod pro zabránění overfittingu. Pro vyhodnocení bude opět použito *MAE*.

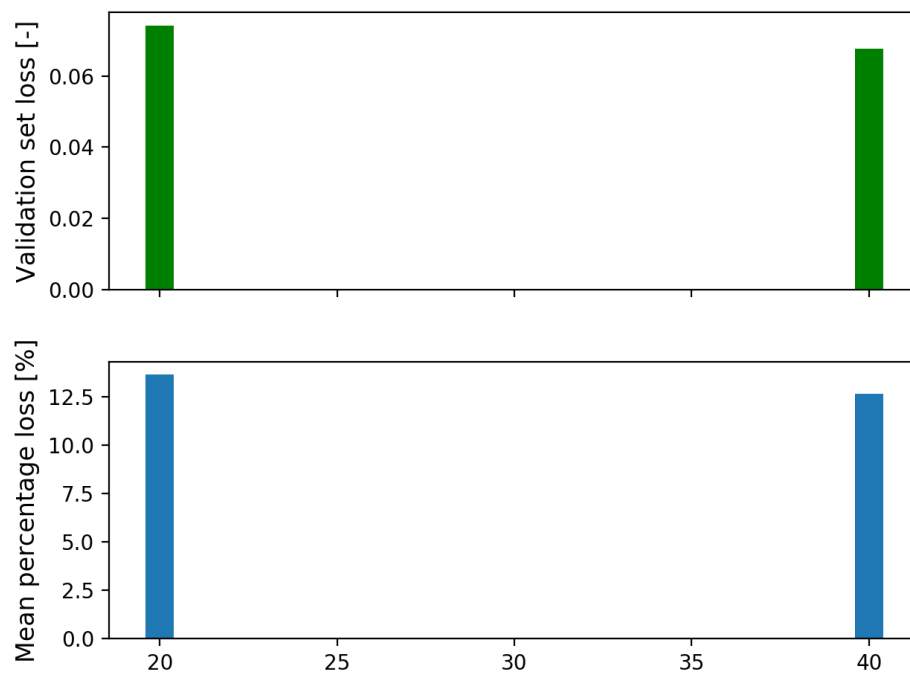
7.6.1 Velikost dávky

Pro zjištění ideální velikosti dávky pro model LSTM bude užito stejného postupu jako u MLP.



Obr 7.13: Vývoj chybové funkce u LSTM při různé velikosti dávky

Na Obr.7.13 vidíme že nejlepších výsledků dosahujeme při 20 vzorcích na dávku a při 40 vzorcích na dávku. Proto pro další zkoumání zvolíme jen tyto 2 možnosti.

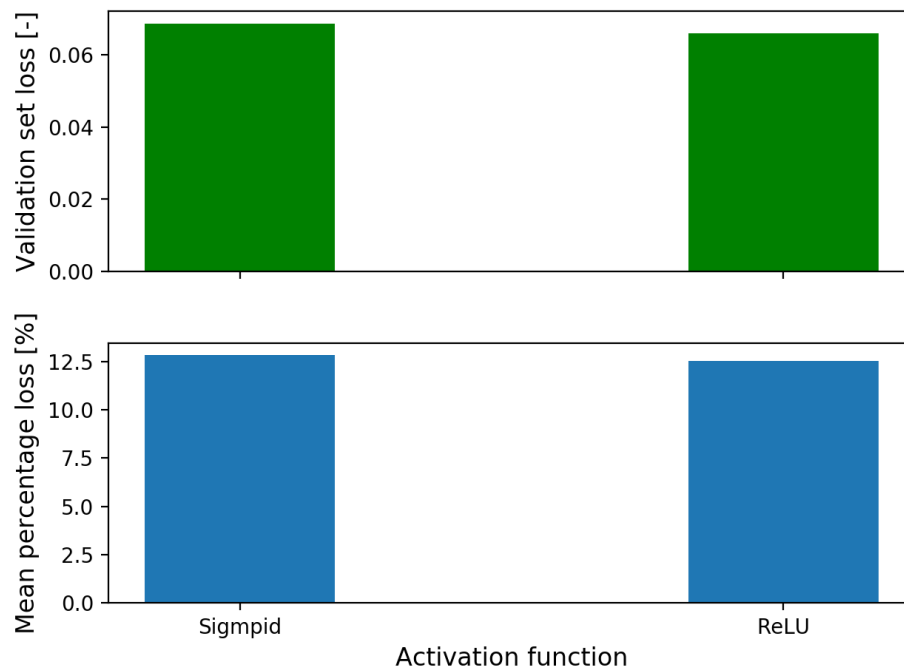


Obr 7.14: Porovnání přesnosti dávek 20 a 40

Z grafu na Obr.7.14 vidíme že přesnost velikosti dávek je takřka totožná a proto byla zvolena pro další implementaci velikost 20, která má větší potenciál v tom postihnout v sobě menší nuance v datovém vzorku zatímco u velikosti 40 bychom

mohli riskovat, že některé hodnoty budou zanedbány. Nevýhoda velikosti dávky 20 je, že si vyžádá více výpočetního času.

7.6.2 Typ aktivační funkce



Obr 7.15: Rozdíl v aktivačních funkcích u LSTM

Z grafu na Obr. 7.15 vidíme, že o něco lepší výsledky dosahuje algoritmus pokud je jako aktivační funkce použita ReLU. Ta je tedy použita dále v této práci, čímž poskytuje i výhodu menší náročnosti na výpočetní výkon.

7.6.3 Shrnutí

Neuronový model LSTM zvolený pro aplikaci na reálná data tedy vypadá následovně:

Table 3: Shrnutí optimálního nastavení LSTM modelu

Počet skrytých vrstev	Počet neuronů ve skryté vrstvě	Aktivační funkce	Velikost dávky	Optimalizační algoritmus
2	4	ReLU	20	Adam

7.6.4 Otestování na umělých datech a náhodných datech

Poté co jsme zvolili ideální strukturu celého modelu, je nutné jej otestovat zda je model schopen najít závislosti na umělých datech a zároveň ověřit na náhodných datech, že se neučí pouze na poskytnutá data.

Table 4: Výsledky optimalizovaného modelu LSTM

Kritérium přesnosti	Náhodná data	Lineární data	Umělá data	Umělá data se šumem
MAE	98,41	0,001	0,01	0,02

8 Aplikace algoritmů na experimentálním data

Poté co byly vytvořeny optimalizované modely MLP a LSTM, jsme připraveni aplikovat tyto algoritmy na reálný datový vzorek. Cílem v této kapitole je nalézt za pomoci naučení NN a vyhodnocení NN čidlo v řezu, z kterého jsme nejpřesněji schopni predikovat zbytek čidel.

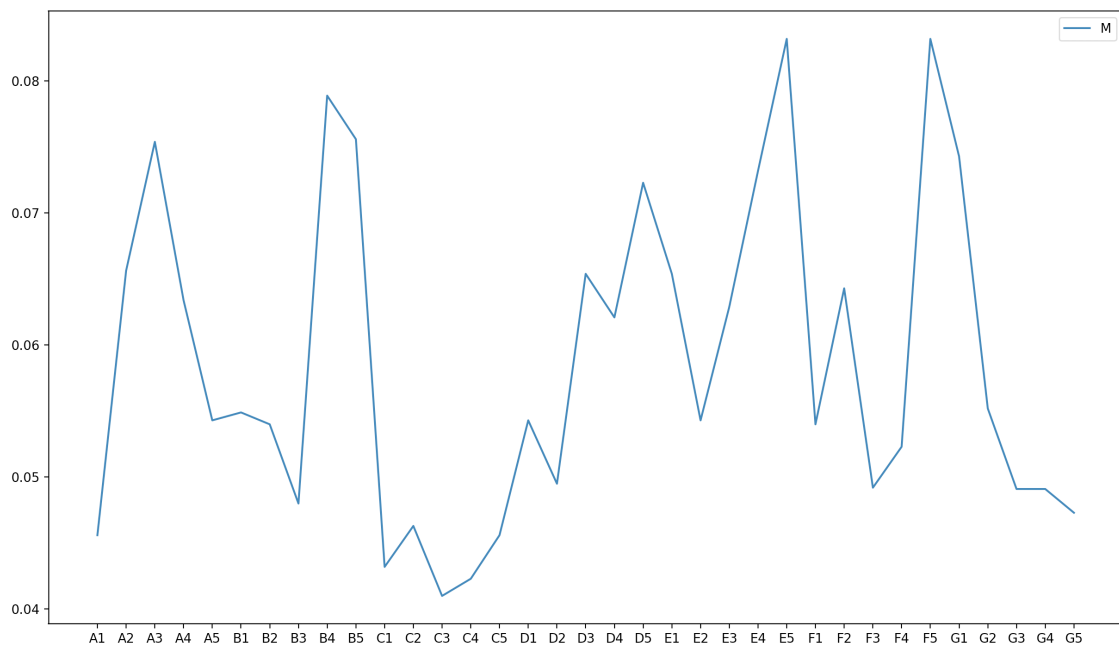
Program je nastaven tak, aby ve smyčce vždy zvolil jednu z teplot a pomocí předem připravené struktury NN modelu zjištěné v minulé kapitole zkusil predikovat ostatní teploty. Následně hodnotu úspěšnosti uložil do pole. Z tohoto pole bude následně vypočtena průměrná hodnota úspěšnosti predikce pro danou teplotu. Z ní zjistíme, jaká z teplot (čidel) se nejvíce hodí pro predikci ostatních.

8.1 MLP

Před připravenému modelu MLP, jsme poskytli veškerá nutná data pro tvorbu vnitřní struktury a naučení se predikovat naše hodnoty. Následně byl spuštěn cyklus, který v každém kroku nejprve zvolil jednu z teplot, a následně se pokusil naučit na predikci zbývajících 34. Po fázi naučení byla vytvořena predikce a porovnána s reálnou hodnotou pro všechny body každé z teplot. Průměrné absolutní odchylky (MAE) byly uloženy do pole a pokračovalo se další teplotou.

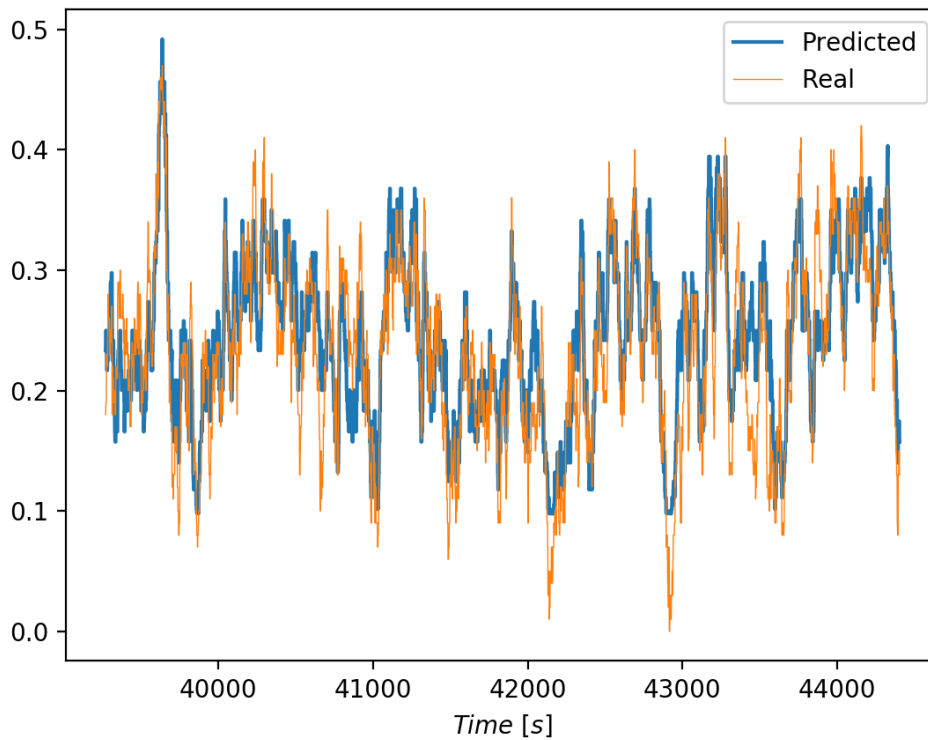
Z těchto odchylek pro každou teplotu byla následně vytvořena průměrná hodnota pro odchylku při predikci s využitím dané teploty. Tyto odchylky byly zapsány

do tabulky z níž pro lepší názornost byl vytvořen graf. Z něj lze vyčíst, že nejvhodnější teplota pro predikci je C3.



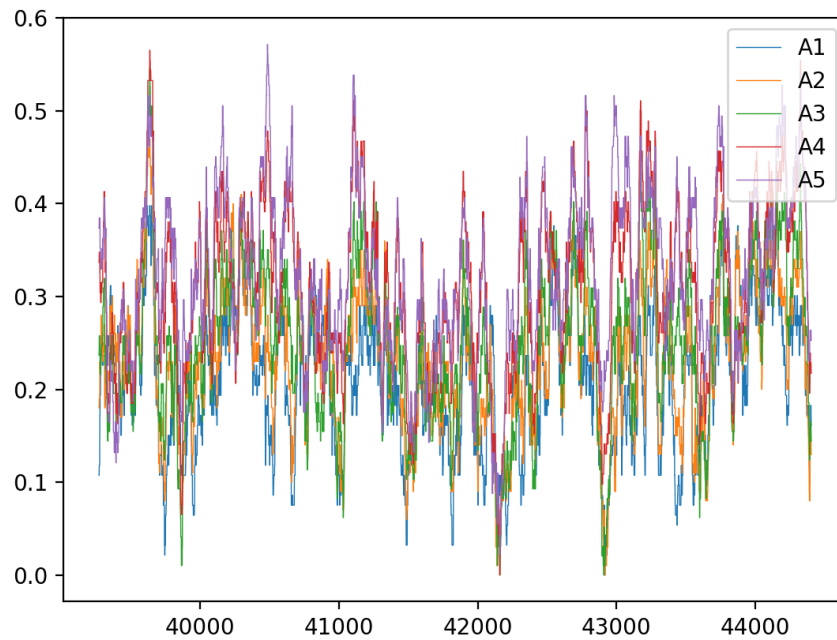
Obr. 8.1: Graf velikosti chyby v závislosti na využitě teplotě pro predikci pomocí MLP

8.1.1 Ukázky využití

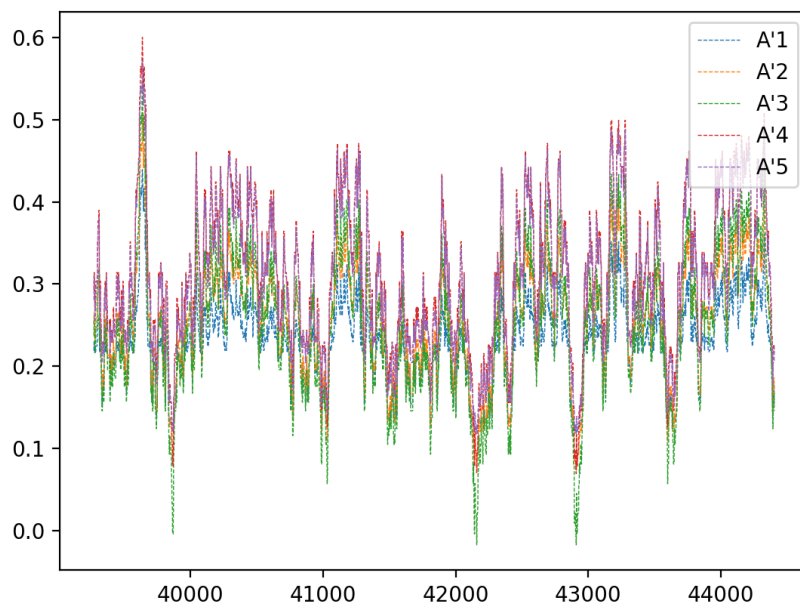


Obr 8.2: Ukázka předpovědi vývoje teploty D2 z teploty C3

Na Obr.8.2 vidíme ukázkou předpovědi jiné teploty z námi určené jako vhodné pro predikci. Procentuální chyba této předpovědi je 12.8%. Na Obr.8.3 a 8.4 můžeme vidět srovnání predikování vývoje všech teplot na jednom úhlu za pomoci naučeného modelu pomocí teploty C3. Průměrná odchylka u predikce všech teplot z jedné byla 13%.



Obr 8.3: Reálná data z úhlu (A) pro porovnání

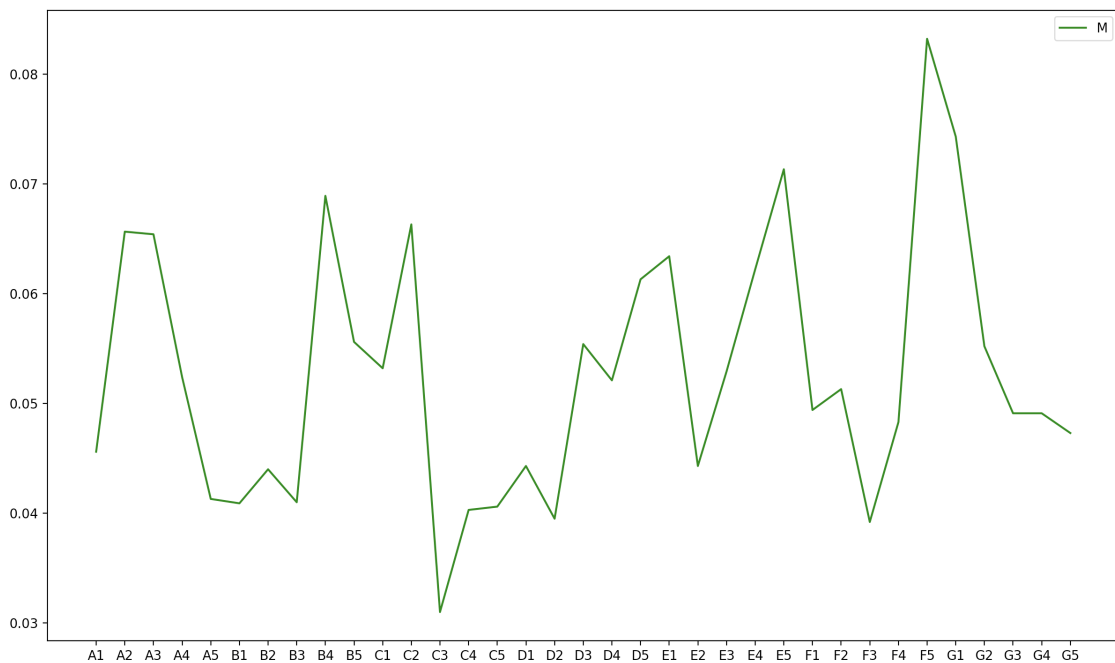


Obr 8.4: Predikovaná data na úhlu (A) z teploty C3

8.2 LSTM

Před připravenému modelu LSTM, jsme poskytli veškerá nutná data pro tvorbu vnitřní struktury a naučení se predikovat naše hodnoty. Následně byl spuštěn cyklus, který v každém kroku nejprve zvolil jednu z teplot, a následně se pokusil naučit na predikci zbývajících 34. Po fázi naučení byla vytvořena predikce a porovnána s reálnou hodnotou pro všechny body každé z teplot. Průměrné absolutní odchylky (MAE) byly uloženy do pole a pokračovalo se další teplotou.

Z těchto odchylek pro každou teplotu byla následně vytvořena průměrná hodnota pro odchylku při predikci s využitím dané teploty. Tyto odchylky byly zapsány do tabulky z níž pro lepší názornost byl vytvořen graf.

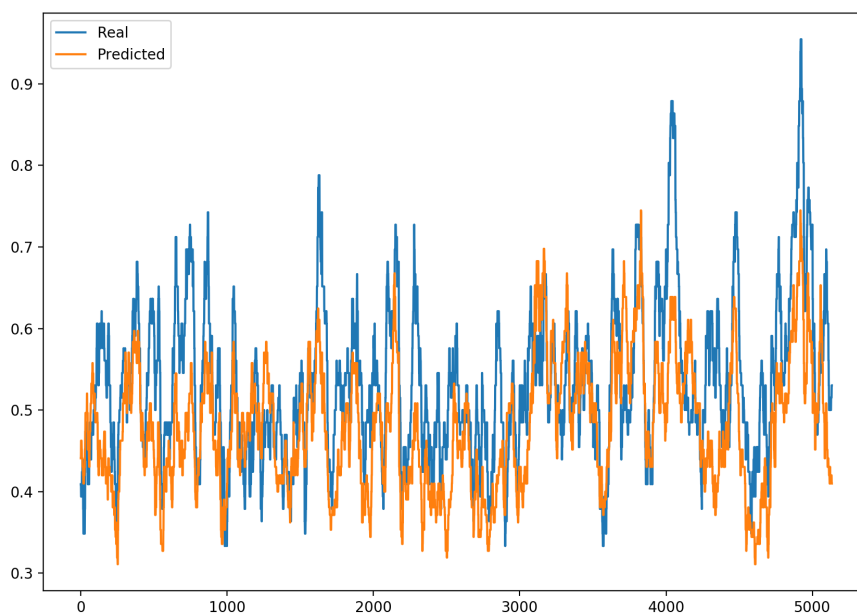


Obr 8.5: Graf velikosti chyby v závislosti na využití teplotě pro predikci pomocí LSTM

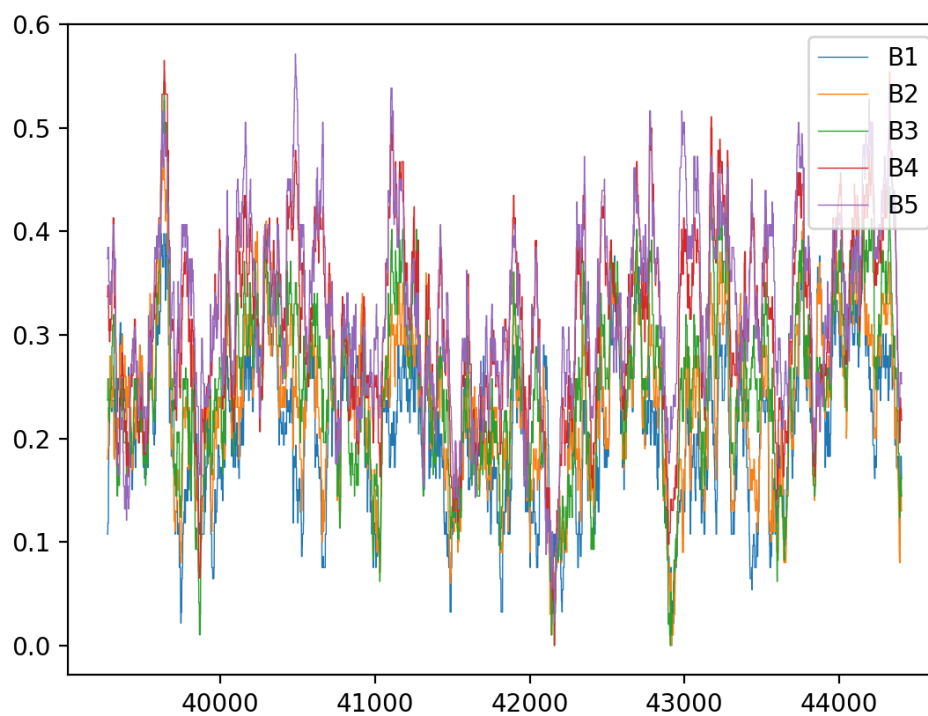
8.2.1 Ukázky využití

Na Obr. 8.6 vidíme předpověď teploty za pomoci vyhodnocené C3. U této teploty docházelo k větším rozdílům, ale i tak byla průměrná odchylka od reálného

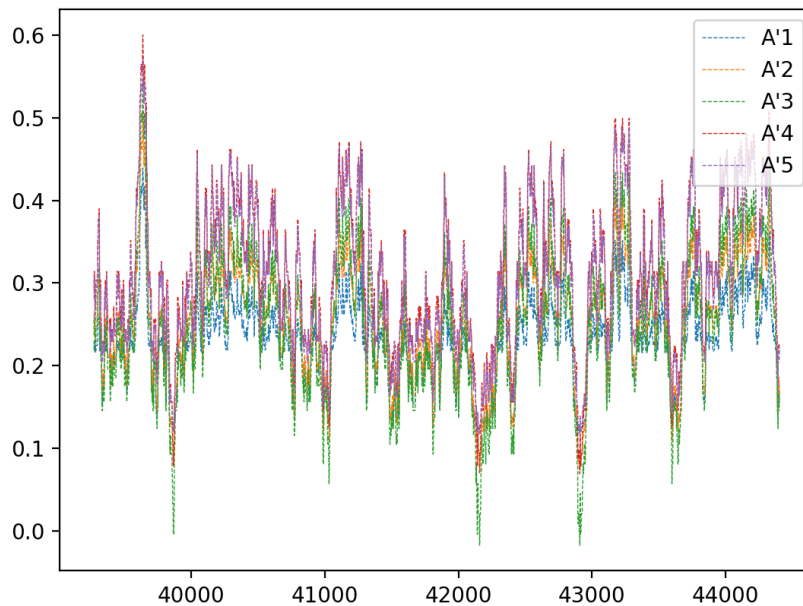
vzorku 12,1%. Na Obr.8.7 a 8.8 můžeme srovnat predikované teploty na jednom úhlu vůči reálným teplotám.



Obr 8.6: Predikce jedné teploty pomocí LSTM za využití teploty C3



Obr 8.7: Reálné hodnoty teplot na úhlu (A)



Obr 8.8: Predikované teploty za pomoci LSTM

8.3 Shrnutí

Z výsledných grafů vidíme, že pro predikci ostatních teplot se jako nejvhodnější jeví teplota označená jako C3. Dále také z výsledků vyplývá, že model LSTM je schopen dosahovat vyšších přesností, což bylo dopředu předpokládáno.

9 Závěr

V průběhu práce v kapitole 2 byl popsán vývoj a aktuální stav strojového učení. Následně byla provedena rešerše neuronových sítí v kapitole 3. Dále byly v kapitole 4 popsány některé neuronové modely – jejich specifikace, výhody a nevýhody a jejich matematické pozadí. K nim bylo také povrchně vysvětleno fungování některých z učících algoritmů.

V kapitole 6 bylo zevrubně naznačeno, jakým způsobem je možné získávat data z řezu turbomotoru, použitá sensorika a její zapojení pro experimentální potřebu. Což nám umožnilo schématicky naznačit rozmístění jednotlivých čidel (viz. Obr. 7.2).

Následně v kapitole 7, byla provedena analýza datových vzorků, na kterých byl aplikován vytvořený algoritmus. Byla popsána metoda přípravy těchto dat pro dosažení lepších výsledků. Na vytvořeném vzorku umělých dat, byly optimalizovány dva modely neuronových sítí **MLP** a **LSTM** v programovacím jazyce Python. Tyto optimalizované modely byly otestovány na umělých datech, abychom potvrdili jejich funkčnost a na náhodných datech, abychom dokázali, že nedochází k overfittingu.

Tyto modely byly následně v kapitole 8 využity pro vyhledání nejvhodnějšího čidla pro předpověď dat z ostatních. Model byl vždy postupně učen na jednotlivé data a následně byla vypočtena průměrná úspěšnost u všech predikcí a z těch byla zvolena ta nejlepší. Dále také ukázána predikce pomocí této teploty.

Vhodným pokračováním této práce by bylo ověřit zda i v jiných řezech turbomotoru je dosahováno nejlepších výsledků v témže místě a případně vytvořit celistvou aplikaci s uživatelským rozhraním umožňující uživateli efektivní práci s nastavením modelů a zpracování výsledků. Dále také možnost využití jiných modelů neuronových sítí, obzvláště rekurentního stylu jako LSTM, jenž dosahují lepších výsledků díky jejich struktuře.

Bibliografie

- [1] . .HRONOVÁ, Markéta. Datový analytik jako povolání budoucnosti: Firmy se bez nich neobejdou, školy jich ale vychovávají málo. *Hospodářské noviny* [online]. 19. říjen 2016 [vid. 2019-04-07]. Dostupné z: <https://byznys.ihned.cz/c1-65484080-datovy-analytik-jako-povolani-budoucnosti-firmy-se-bez-nich-neobejdou-skoly-jich-ale-vychovavaji-malo>
- [2] *Machine learning* [online]. 2019 [vid. 2019-04-06]. Dostupné z: https://en.wikipedia.org/w/index.php?title=Machine_learning&oldid=890697907
- [3] A Beginner's Guide to Multilayer Perceptrons (MLP). *SkyMind* [online]. [vid. 2019-04-06]. Dostupné z: <http://skymind.ai/wiki/multilayer-perceptron>
- [4]GUPTA, Madan M., Ivo BUKOVSKÝ, Homma NORIYASU, ASHU M. G. SOLO a ZENG-GUANG HOU. *Artificial Higher Order Neural Networks for Modeling and Simulation*: [online]. B.m.: IGI Global, 2013 [vid. 2019-04-05]. ISBN 978-1-4666-2175-6. Dostupné z: doi:10.4018/978-1-4666-2175-6
- [5] HOCHREITER, Sepp a Jürgen SCHMIDHUBER. Long Short-Term Memory. *Neural Computation* [online]. 1997, 9(8), 1735–1780. ISSN 0899-7667, 1530-888X. Dostupné z: doi:10.1162/neco.1997.9.8.1735
- [6] Python Programming Language. *GeeksforGeeks* [online]. [vid. 2019-04-06]. Dostupné z: <https://www.geeksforgeeks.org/python-programming-language/>
- [7] *GE H-Series Turboprop Engines* [online]. B.m.: GE Aviation. Dostupné z: <https://www.geturboprops.com/cs/download/iauzszpp-h-series-data-sheet-12-2018-a4-preview.pdf>
- [8] ...JAMES, Gareth, Daniela WITTEN, Trevor HASTIE a Robert TIBSHIRANI, ed. *An introduction to statistical learning: with applications in R*. 7th edition. New York: Springer, 2017. Springer texts in statistics, 103. ISBN 978-1-4614-7137-0.
- [9] GOODFELLOW, Ian, Yoshua BENGIO a Aaron COURVILLE. *Deep learning*. Cambridge, Massachusetts: The MIT Press, 2016. Adaptive computation and machine learning. ISBN 978-0-262-03561-3.
- [10] ...KURFÜRSTOVÁ, Jana. Strojové učení kouzla zbavené. *EDTECH KISK* [online]. 16. duben 2018 [vid. 2019-04-23]. Dostupné z: <https://medium.com/edtech-kisk/strojov%C3%A9-u%C4%8Den%C3%AD-kouzla-zbaven%C3%A9-e066d79ebe51>
- [11] . ŠÍMA, Jiří a Roman NERUDA. *Teoretické otázky neuronových sítí*. Praha: Matfyzpress, 1996. ISBN 978-80-85863-18-5.
- [12] . .NIELSEN, Michael A. *Neural Networks and Deep Learning* [online]. 2015 [vid. 2019-04-06]. Dostupné z: <http://neuralnetworksanddeeplearning.com>
- [13]A Beginner's Guide to Deep Reinforcement Learning. *SkyMind* [online]. [vid. 2019-04-25]. Dostupné z: <http://skymind.ai/wiki/deep-reinforcement-learning>
- [14] . .VONDRÁK, Ivo. *Umělá inteligence a neuronové sítě: Určeno pro posl. 4. roč. Fak. elektrotechniky a informatiky*. Ostrava: Vysoká škola báňská - Technická univerzita Ostrava, 1994. ISBN 978-80-7078-259-0.

- [15] VOLNÁ, Eva. *NEURONOVÉ SÍTĚ 1* [online]. nedatováno. Dostupné z: http://www1.osu.cz/~volna/Neuronove_site_skripta.pdf
- [16] FILIP MOLČÍK. *STUDIE VYUŽITÍ NEURONOVÝCH SÍTÍ A ADAPTIVNÍHO MONITOROVÁNÍ PRO ALGO-TRADING*. Praha, nedatováno. ČVUT v Praze.
- [17]ŠTENCL, Ing Michael. Predikce a optimalizace reálných dat pomocí algoritmů umělé inteligence. nedatováno, 108.
- [18] ..(6) *But what *is* a Neural Network? | Deep learning, chapter 1 - YouTube* [online]. [vid. 2019-04-06]. Dostupné z: https://www.youtube.com/watch?v=aircAruvnKk&list=PLZHQObOWTQDNU6R1_67000Dx_ZCJB-3pi
- [19] LIU, Danqing. A Practical Guide to ReLU. *TinyMind* [online]. 30. listopad 2017 [vid. 2019-05-07]. Dostupné z: <https://medium.com/tinymind/a-practical-guide-to-relu-b83ca804f1f7>
- [20]BROWNLEE, Jason. A Gentle Introduction to the Rectified Linear Unit (ReLU) for Deep Learning Neural Networks. *Machine Learning Mastery* [online]. 8. leden 2019 [vid. 2019-05-07]. Dostupné z: <https://machinelearningmastery.com/rectified-linear-activation-function-for-deep-learning-neural-networks/>
- [21] HUANG, Guang-Bin, Qin-Yu ZHU a Chee-Kheong SIEW. Extreme learning machine: Theory and applications. *Neurocomputing* [online]. 2006, **70**(1–3), 489–501. ISSN 09252312. Dostupné z: doi:10.1016/j.neucom.2005.12.126
- [22] TANG, Jiexiong, Chenwei DENG a Guang-Bin HUANG. Extreme Learning Machine for Multilayer Perceptron. *IEEE Transactions on Neural Networks and Learning Systems* [online]. 2016, **27**(4), 809–821. ISSN 2162-237X, 2162-2388. Dostupné z: doi:10.1109/TNNLS.2015.2424995
- [23] BUKOVSKÝ, Ing Ivo. Nekonvenční neuronové architektury a jejich výhody pro technické aplikace. nedatováno, 33.
- [24] BUKOVSKY, Ivo, Noriyasu HOMMA, Kei ICHIJI, Matous CEJNEK, Matous SLAMA, Peter M. BENES a Jiri BILA. A Fast Neural Network Approach to Predict Lung Tumor Motion during Respiration for Radiation Therapy Applications. *BioMed Research International* [online]. 2015, **2015**, 1–13. ISSN 2314-6133, 2314-6141. Dostupné z: doi:10.1155/2015/489679
- [25] ..BROWNLEE, Jason. Multi-step Time Series Forecasting with Long Short-Term Memory Networks in Python. *Machine Learning Mastery* [online]. 9. květen 2017 [vid. 2019-04-08]. Dostupné z: <https://machinelearningmastery.com/multi-step-time-series-forecasting-long-short-term-memory-networks-python/>
- [26]CHEN, Gang. A Gentle Tutorial of Recurrent Neural Network with Error Backpropagation. *arXiv:1610.02583 [cs]* [online]. 2016 [vid. 2019-05-17]. Dostupné z: <http://arxiv.org/abs/1610.02583>
- [27] *Levenberg-Marquardt backpropagation - MATLAB trainlm* [online]. [vid. 2019-05-20]. Dostupné z: <https://www.mathworks.com/help/deeplearning/ref/trainlm.html>
- [28]VAJDÁK, Martin. *Metody měření teploty spalín před turbodmychadlem*. Brno, 2014. Bachelor. VÚT v Brně.
- [29]NOVÁK, Martin, ČESKÉ VYSOKÉ UČENÍ TECHNICKÉ V PRAZE a STROJNÍ FAKULTA. *Technická měření*. 2018. ISBN 978-80-01-06388-0.

- [30]KUŽNIAR, Krystyna a Maciej ZAJĄC. Some methods of pre-processing input data for neural networks. nedatováno, 11.
- [31] *Home - Keras Documentation* [online]. [vid. 2019-08-09]. Dostupné z: <https://keras.io/>
- [32] .CULURCIELLO, Eugenio. The fall of RNN / LSTM. *Towards Data Science* [online]. 13. duben 2018 [vid. 2019-05-13]. Dostupné z: <https://towardsdatascience.com/the-fall-of-rnn-lstm-2d1594c74ce0>
- [33]How does the Pratt & Whitney Canada PT6 differ from other turboprop engines? *Aviation Stack Exchange* [online]. [vid. 2019-07-24]. Dostupné z: <https://aviation.stackexchange.com/questions/22151/how-does-the-pratt-whitney-canada-pt6-differ-from-other-turboprop-engines>

Seznam příloh

Příloha 1 – Zdrojový kód třídy pro import dat	65
Příloha 2 – Zdrojový kód modulu pro tvorbu NN modelů	66
Příloha 3 – CD	

Příloha 1 – Zdrojový kód třídy pro import dat

```

import re

import pandas as pd
from sklearn import preprocessing

class DataImport:
    """Class to import data from csv file and split them into
    separated variables

    """
    db = pd.DataFrame()
    temperatureDB = pd.DataFrame()
    scaler = preprocessing.MinMaxScaler(feature_range=(0, 1))

    def splitdata(self, data):
        """Splits data into temperature DB and Time
        :param str data: CSV file format
        :return: tuple of Time DB and Temperature DB
        """
        DataImport.db = pd.read_csv(data)
        time = DataImport.db["TIME"]
        DataImport.temperatureDB = DataImport.db.iloc()[1:]
        columns = DataImport.temperatureDB.columns
        scaler = preprocessing.MinMaxScaler(feature_range=(0, 1))
        DataImport.temperatureDB =
scaler.fit_transform(DataImport.temperatureDB.to_numpy())
        DataImport.temperatureDB =
pd.DataFrame(DataImport.temperatureDB, columns=columns)

        return time, DataImport.temperatureDB

    def azimuth(self, name, base):
        """Returns specific azimuth DataFrame.
        :param str name: Specification of concrete azimuth we are
looking for.
        :return: DataFrame DB with concrete azimuth
        """
        myregex = r"{base}" + re.escape(name) + r"."
        azimuth = DataImport.temperatureDB.filter(regex=myregex)
        return azimuth

    def radius(self, name, base):
        """Returns specific radius DataFrame.
        :param str name: Specification of concrete radius we are
looking for.
        :return: DataFrame DB with concrete radius
        """
        myregex = r"{base}" + r"." + re.escape(name) + "$"
        radius = DataImport.temperatureDB.filter(regex=myregex)
        return radius

```

Příloha 2 – Zdrojový kód modulu pro tvorbu NN modelů

```

from keras.layers import Dense, LSTM
from keras.models import Sequential

class NeuralNetworks:
    """Class for creating specific NN models"""
    pass

def MLP_Regressor(units=(32, 64, 64), activation="relu",
loss_func="mae"):
    """Function for creating MLP regression model using keras
    :param str activation: Activation function ("relu", "elu",
"sigmoid")
    :param tuple units: Specifies number of neurons in 1st and other
layers, default (32.64.64)
    :param str loss_func: Specifies loss func for compilation, default
("mae")
    :return: Compiled model
    """
    regressor = Sequential()
    regressor.add(Dense(units=units[0], input_dim=1))
    regressor.add(Dense(units=units[1], activation=activation))
    regressor.add(Dense(units=units[2], activation=activation))
    regressor.add(Dense(1))
    regressor.compile(optimizer="adam", loss=loss_func,
metrics=["mape"])
    return regressor

def lstm_regressor(units=(10, 4, 4), activation="relu",
loss_func="mae"):
    """Function for creating MLP regression model using keras
    :param str activation: Activation function ("relu", "elu",
"sigmoid")
    :param tuple units: Specifies number of neurons in 1st and
other layers, default (32.64.64)
    :param str loss_func: Specifies loss func for compilation,
default ("mae")
    :return: Compiled model
    """
    module = Sequential()
    module.add(LSTM(units=units[0], input_shape=(1, 1),
return_sequences=True))
    module.add(LSTM(units=units[1], activation=activation,
return_sequences=True))
    module.add(LSTM(units=units[2], activation=activation))
    module.add(Dense(1))
    module.compile(optimizer='adam', loss=loss_func,
metrics=["mean_absolute_percentage_error"])
    return module
    
```

```

def mlp_multi(units=(68,68,68), activation = "relu",
loss_func="mae", output= 1):
    """Function for creating MLP regression model for whole dataset
    uisng keras
        :param str activation: Activation function ("relu", "elu",
"sigmoid")
        :param tuple units: Specifies number of neurons in 1st and
other layers, default (32.64.64)
        :param str loss_func: Specifies loss func for compilation,
default ("mae")
        :param int output: Number of outputs from model
        :return: Compiled model
    """
    regressor = Sequential()
    regressor.add(Dense(units=units[0], input_dim=1))
    regressor.add(Dense(units=units[1], activation=activation))
    regressor.add(Dense(units=units[2], activation=activation))
    regressor.add(Dense(output))
    regressor.compile(optimizer="adam", loss=loss_func,
metrics=["mse"])
    return regressor
def lstm_multi(units = (34,4,4), activation = "relu", loss_func="mae",
output = 1):
    """Function for creating MLP regression model uisng keras
        :param str activation: Activation function ("relu", "elu",
"sigmoid")
        :param tuple units: Specifies number of neurons in 1st and
other layers, default (32.64.64)
        :param str loss_func: Specifies loss func for compilation,
default ("mae")
        :param int output: Number of outputs from model
        :return: Compiled model
    """
    module = Sequential()
    module.add(LSTM(units=units[0], input_shape=(1, 1),
return_sequences=True))
    module.add(LSTM(units=units[1], activation=activation,
return_sequences=True))
    module.add(LSTM(units=units[2], activation=activation))
    module.add(Dense(units=output))
    module.compile(optimizer='adam', loss=loss_func, metrics=["mse"])
    return module

```

Příloha 3 – CD

- Elektronická verze práce
- Grafy
- Části kódu použitelné univerzálně